



**appunti**  
www.centroappunti.it

Corso Luigi Einaudi, 55 - Torino

Appunti universitari

Tesi di laurea

Cartoleria e cancelleria

Stampa file e fotocopie

Print on demand

Rilegature

NUMERO: 2028A -

ANNO: 2016

# APPUNTI

STUDENTE: Ferrero Roberta

MATERIA: Idraulica (teoria + esercitazioni) - Prof Ridolfi

Il presente lavoro nasce dall'impegno dell'autore ed è distribuito in accordo con il Centro Appunti.

Tutti i diritti sono riservati. È vietata qualsiasi riproduzione, copia totale o parziale, dei contenuti inseriti nel presente volume, ivi inclusa la memorizzazione, rielaborazione, diffusione o distribuzione dei contenuti stessi mediante qualunque supporto magnetico o cartaceo, piattaforma tecnologica o rete telematica, senza previa autorizzazione scritta dell'autore.

ATTENZIONE: QUESTI APPUNTI SONO FATTI DA STUDENTI E NON SONO STATI VISIONATI DAL DOCENTE.  
IL NOME DEL PROFESSORE, SERVE SOLO PER IDENTIFICARE IL CORSO.

## FLUIDO

forma della materia priva di forze proprie  
corpo materiale che può subire grandi deformazioni  
sotto l'azione di forze di minima intensità.



scarsa resistenza alla deformazione.

NO variaz. di volume

ma

variaz. di forma =  
= DISTORSIONE ANGOLARE

- resist. opposta diventa trascurabile quando velocità di deformazione tende ad annullarsi.
- forze applicate dipendono dalle deform. e non delle vel. ( $\rightarrow$  distinzione mecc. fl. e mecc. sol.)

sono permanenti,  
contrariam. ai solidi

in tal caso forza dipenderebbe  
anche dal tempo, escludo  $v = 0/t$

A seconda delle intensità

FLUIDI ↗ LIQUIDI :

Poco COMPRESIBILI,  
grandi resist. opposte alla variaz. di volume  $\Delta V$ ,  
sup. libera a contatto con l'atm. ("pelo libero")

GAS :

FACILI. COMPRESIBILI,  
forze di modeste intensità per  $\Delta V$   
 $\rightarrow$  occupano intero recipiente

FLUIDO come SIST. DISCRETO

composto da molecole di dimens.  
molto > rispetto alle distanze che  
le separano  $\rightarrow$  DENSITÀ BASSISSIME

ANALISI DIFFERENZIALE è inadeguata

grandezze caratteristiche in un p.to  
variabili con discontinuità

Es.:  $\frac{dv}{dt} =$  variaz. velocità  
di una sing. molecola

→ studio fluidi su scale > (fino al  $\text{mm}^3$ )  
considero  $dV$  contenente n.° mol. suff.  
da supporre una variaz. spaziale continua  
delle caratteristiche medie

O → X  
discont. + continuo

FLUIDO come SIST. CONTINUO

↓  
sfrutto calcolo differenziale

PARTICELLA FLUIDA =

porzione di fluido di dimensioni opportunate m.  
seiate alla quale corrispondono certi valori delle  
grandezze caratteristiche ( $p, v, \rho$ ) in un certo p.to,  
assegnati al centro di inerzia.

## Viscosità

dinamica,  $\mu$  [Ns/m<sup>2</sup>]  
cinematica,  $\eta$  [m<sup>2</sup>/s]

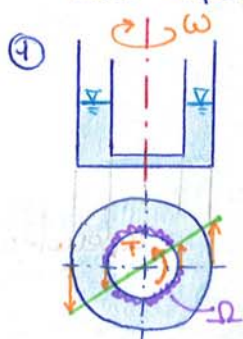
Fluido in moto → stato di sforzo interno { componenti NORMALI  
" " TANGENZIALI → si oppongono al moto deform. IRREVERS.

## Viscosità dinamica, $\mu$ [Ns/m<sup>2</sup>]

$$\mu = \mu (\text{fluido}, \theta, \tau)$$

LIQUIDI:  $\uparrow \theta, \downarrow \mu$  (de lo diventa simile all' $H_2O$ )  
GAS:  $\uparrow \theta, \uparrow \mu$  ( $\uparrow$  cinetica e contatto tra molecole)

Due esperimenti:



### VISCOSIMETRO

2 cilindri coassiali, liberi di muoversi indipend. senza attrito.

Cilindro esterno in moto ( $\omega_{\text{est}}$ )

tg a direz. moto  
(trasmesse DAL FLUIDO)

trascina strati successivi di fluido  
trascinam. cilindro interno, trasmittendo coppia x mantenere cil. est. in rotaz.

Se voglio mantenere fermo cil. int.:

coppia  $T$   
resist. al moto  
(= ed opposta a coppia cil. int.)

→ cilindro interno in quiete:  
f.  $\omega \cdot r_e$ : vel. rel. a parete cil. est.  
f. 0: " " " " int

↓  
Fluido alla parete ( $r_e$ ) si muove con stessa velocità di qst slittom.

↓  
azione di trascinam. su parete del cilindro interno è = contraria a  $T$

$$T \propto (\text{fluido}, \rho, \frac{1}{2} \Omega r, \Delta u) \\ (\text{coppia di forze}) \quad (f_e - f_i) \quad (w_e - w_i)$$

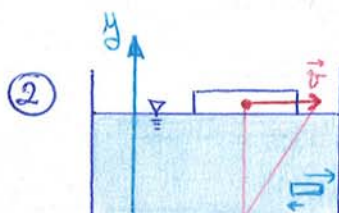
$$T = \mu \cdot \eta \frac{du}{dr}$$

gradiente velocità  
lungo la norm. alla v. fluido  
→ crea tensioni tg

$$\frac{T}{\eta} = \mu \frac{du}{dr}$$

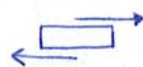
LEGGE DI NEWTON

op. di  $\dot{\gamma}$  (vel. deform. app.) FLUIDI  
 $\tau \propto \dot{\gamma}$  (distr. ang.) SOLIDI



Vasca riempita con fluido, galleggiante con velocità  $\vec{v}$ .

stratificati di fluido sono trascinati da stratificati sovrastanti e intanto trascinano stratificati sottostanti.



Velocità decrescono verso fondo, fino ad annullarsi.

$\uparrow \mu$ ,  $\uparrow$  velocità di trascinam. tra gli stratificati → nasce un gradiente delle velocità

$\uparrow \tau$ ,  $\uparrow \frac{du}{dr}$  l'insorgenza del gradiente delle velocità rispetto alla normale alla direzione del moto origina delle tensioni tg  $\tau$ .

I fluidi newtoniani obbediscono alla legge:  $\tau = \mu \frac{du}{dr}$

e dunque sono caratterizzati da un unico parametro  $\mu$ .

Sul piano rettangolare si rappresentano con una retta passante per l'origine degli assi con coeff. angolare  $\mu$ .

## DILATANTI (sospensioni di solidi ad alta concentraz.)

concavità verso alto.

$\uparrow \dot{\gamma}$ ,  $\uparrow \mu$ ,  $\uparrow$  resist.  $\rightarrow \uparrow$  distanza tra particelle, dilataz.  
Fluido in quiete  $\rightarrow$  porosità del fluido è minima  $\rightarrow$  liquido riempie appena i vuoti

## TIROTROPICO $\uparrow t \Rightarrow \uparrow \mu$

$\eta \downarrow$  nel tempo fino a valore limite, in corrispondenza del quale il fluido si comporta come newtoniano. Tempo necessario a rottura dei legami strutturali

Contrario: REOPEUTICI

$\rightarrow \uparrow$  tempo,  $\uparrow \eta$ ,  $\uparrow \mu \rightarrow$  i solidi (si induriscono) formano legami che si oppongono al movimento

## ELASTOVISCOSE (emulsioni e sospensioni di fluidi newtoniani)

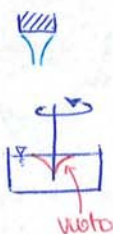
$$\dot{\gamma} = \frac{\partial u}{\partial x} + \frac{\partial v}{\partial y} \quad \text{quieta } (\dot{\gamma}=0) \rightarrow \eta \text{ si estinguono gradualmente con legge esponenziale}$$

Proprietà viscose (fluidi) + prop. elastiche (solidi)

$$\left\{ \begin{array}{l} \eta \propto \dot{\gamma} \text{ FLUIDI} \\ \tau \propto \dot{\gamma} \text{ SOLIDI} \end{array} \right. \quad \left\{ \begin{array}{l} \eta = f(x, x) \\ \text{ELASTOVISCOSE} \end{array} \right. \quad \left\{ \begin{array}{l} \eta \propto f(x) \\ \text{set Viscosi} \end{array} \right.$$

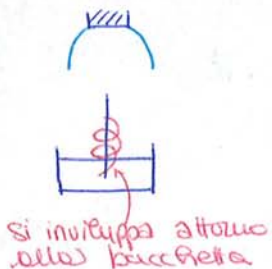
Acqua

getto



Comportam. fluido quando giro una baccelletta dentro

Fluido elastoviscoso



si inviluppa attorno alla bacchetta

## Viscosità cinematica, $\nu$

$$\nu = \frac{\mu}{\rho} \quad [\text{m}^2/\text{s}]$$

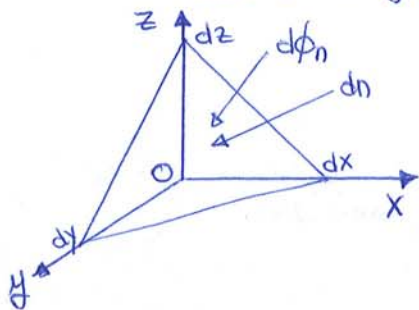
$$\left\{ \begin{array}{l} \nu_{\text{H}_2\text{O}} = 0(10^{-6}) \text{ m}^2/\text{s} \\ \nu_{\text{aria}} = 0(10^{-5}) \text{ m}^2/\text{s} \end{array} \right. \Rightarrow \rho_{\text{aria}} \ll \rho_{\text{H}_2\text{O}}$$

Fluidi sono condizionati da  $\nu$  e non da  $\mu$ .

## Tensione superficiale, $\delta$

(vedi capitolo "NOTI DI FILTRAZIONE")

? Distribuz. degli sforzi intorno al p.to O, al variare delle giaciture.



Tetraedro elementare ("Tetraedro di Cauchy")

Cauchy descrive  $\vec{\sigma}$  bilanciando tutti gli sforzi su un stesso volume  $dV$   $\perp$  superficie.  $\vec{\sigma}_n$  non ha necessariamente lo stesso direz. di  $\vec{n}$ , ma agisce sulla stessa sup.

I equaz. coordinate di equilibrio

FORZE DI SUP. + FORZE DI MASSA = 0

$$\downarrow d\vec{m} = \rho dV = \rho dx dy dz \quad (\text{infinitesimo } 3^{\circ} \text{ ordine} \rightarrow f. \text{ di massa trascurabile})$$

$d\vec{n}^{\vec{\sigma}}$  = spinte agenti sulle 4 facce (infinitesimo 2° ordine):

$$\vec{\sigma}_n d\Omega_n - \vec{\sigma}_x d\Omega_x - \vec{\sigma}_y d\Omega_y - \vec{\sigma}_z d\Omega_z = 0$$

$$\begin{aligned} d\Omega_x &= -d\Omega_n \cos \hat{n} \hat{x} & "-" \text{ essendo } \hat{n} \hat{x} \\ d\Omega_y &= -d\Omega_n \cos \hat{n} \hat{y} & \text{ ang. ottusi} \rightarrow \cos < 0 \\ d\Omega_z &= -d\Omega_n \cos \hat{n} \hat{z} \end{aligned}$$

TEOR. DEL TETRAEDRO DI CAUCHY

(relaz. vettoriale)

sforzo agente su giacitura  $\vec{n}$

$$\vec{\sigma}_n = \vec{\sigma}_x \cos \hat{n} \hat{x} + \vec{\sigma}_y \cos \hat{n} \hat{y} + \vec{\sigma}_z \cos \hat{n} \hat{z}$$

sforzi agenti su 3 giaciture,  $\perp$  tra loro

(relaz. vettoriale)

Lo sforzo agente su un p.to su un elem. di generiche giaciture è funz. lineare degli sforzi  $\vec{\sigma}$  agenti, nello stesso p.to, sul 3 qualsiasi giaciture  $\perp$  tra loro.

Predittando secondo 3 assi coordinati  $\rightarrow$  3 relaz. scalari:

$$\left\{ \begin{array}{l} \sigma_{nx} = \sigma_{xx} \cos \hat{n} \hat{x} + \sigma_{xy} \cos \hat{n} \hat{y} + \sigma_{xz} \cos \hat{n} \hat{z} \\ \sigma_{ny} = \sigma_{xy} \cos \hat{n} \hat{x} + \sigma_{yy} \cos \hat{n} \hat{y} + \sigma_{yz} \cos \hat{n} \hat{z} \\ \sigma_{nz} = \sigma_{xz} \cos \hat{n} \hat{x} + \sigma_{yz} \cos \hat{n} \hat{z} + \sigma_{zz} \cos \hat{n} \hat{z} \end{array} \right.$$

1° indice: direz. delle normale al piano su cui agisce lo sforzo  $\vec{\sigma}$ .

2° indice: direz. secondo cui si proietta  $\vec{\sigma}$ .

$$\begin{bmatrix} \sigma_{xx} & \sigma_{yx} & \sigma_{zx} \\ \sigma_{xy} & \sigma_{yy} & \sigma_{zy} \\ \sigma_{xz} & \sigma_{yz} & \sigma_{zz} \end{bmatrix} = \begin{bmatrix} \tau_x & \tau_{yx} & \tau_{zx} \\ \tau_{xy} & \tau_y & \tau_{zy} \\ \tau_{xz} & \tau_{yz} & \tau_z \end{bmatrix} = [\tau_{ij}]$$

TENSORE DEGLI SFORZI

# STATICA

## → ESERCITAZIONE 2

Fluido  
in quiete  
 $\frac{du}{dt} = 0$

velocità di deformaz.,  $\dot{\gamma} = 0 \left( = \frac{du}{dr} \right)$   
assenza degli spostm. relat. nel tempo  
delle sing. particelle  
→ assenza deformaz. delle  
massa fluida

$$\tau = \mu \dot{\gamma} = 0$$

eq. assoluto  
eq. relativo

$$\left\{ \begin{array}{l} \tau_x = \tau_y = \tau_z = 0 \\ \vec{\sigma}_n = \vec{\sigma}_{nx} \cos \hat{n}x + \vec{\sigma}_{ny} \cos \hat{n}y + \vec{\sigma}_{nz} \cos \hat{n}z \end{array} \right. \quad (\tau = \mu \frac{du}{dr}) \rightarrow \begin{array}{l} \text{fluido newtoniano im} \\ \text{statico si comporta come} \\ \text{fluido perfetto} \end{array}$$

(TESI DEL TETRAEDRO DI GAUCHY)

$$\left\{ \begin{array}{l} \sigma_{nx} = \sigma_n \cos \hat{n}x = \sigma_x \cos \hat{n}x \\ \sigma_{ny} = \sigma_n \cos \hat{n}y = \sigma_y \cos \hat{n}y \\ \sigma_{nz} = \sigma_n \cos \hat{n}z = \sigma_z \cos \hat{n}z \end{array} \right. \rightarrow \sigma_x = \sigma_y = \sigma_z = p \quad \forall (x, y, z, t)$$

$$\vec{\sigma}_n = p \vec{n}$$

$$\begin{pmatrix} \sigma_{xx} & \sigma_{xy} & \sigma_{xz} \\ \sigma_{yx} & \sigma_{yy} & \sigma_{yz} \\ \sigma_{zx} & \sigma_{zy} & \sigma_{zz} \end{pmatrix} = \begin{pmatrix} p & 0 & 0 \\ 0 & p & 0 \\ 0 & 0 & p \end{pmatrix}$$

$p = p(x, y, z)$

STATO TENSIONALE  
ISOTROPO  
↑ 1° param. (p)

(matr. degli sforzi)  
DIAGONALE  
t per qualsiasi  
orientam.

Lo sforzo in un generico p.t.o di un fluido in quiete  
è sempre diretto secondo la normale  $\vec{n}$  all' elem. di sup.  
e ha modulo INDIPENDENTE dall' orientam. passante x lo stesso p.t.o (deg. di isotropia).  
→ tensore degli sforzi ha matr. sempre diag.  
→  $\vec{\sigma}_n$  diretto come  $\vec{n}$

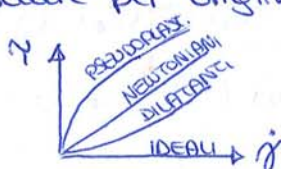
Fluidi newtoniani:  $\tau = \mu \frac{du}{dn} = 0$  SSE  $\mu = 0$ : no attrito  
 $\frac{du}{dn} = 0$ : no grad. velocità

Profilo velocità assente SSE  $\frac{du}{dy} = 0$   
 $u = 0 \rightarrow \boxed{\text{STATICA}}$

OSS. 1: Stato tensionale fornito da un unico scalare, p (uniche dosi).

OSS. 2: sist. riferim. principale, essendo tens. sforzi diag. ( $\begin{matrix} p & 0 & 0 \\ 0 & p & 0 \\ 0 & 0 & p \end{matrix}$ )

OSS. 3: statica vale per fluido con curva ricologica  
passante per origine, cioè con τ iniziale nullo.  
(in quiete).



→ non vale per fluidi PLASTIC AKA BINGHAM,  
aventi  $\tau \neq 0$  per  $\dot{\gamma} = 0$  !!

## Equaz. globale dell'equilibrio statico

$$\int_V p \vec{F} dV = \int_V \text{grad}(p) dV$$

TEOR. DEL GRAD.  
O DI STOKES

$$\int_V \text{grad}(p) dV = - \oint_{\partial V} (p \cdot \cos \hat{x} \vec{i} + p \cos \hat{y} \vec{j} + p \cos \hat{z} \vec{k}) d\vec{s}$$

NORMALE  $\vec{n}$   
USCENTE

$$= \int_{\partial V} p \vec{n} d\vec{s} = \vec{F}_c$$

$$\vec{P} + \vec{F}_c = 0$$

RISULTANTE DELLE F. DI MASSA AGENTI SULLE SING. PARTICELLE DI FLUIDO  
(PESO DEL V)

EQ. GLOBALE  
DELL'EQUILIBRIO STATICO  
→ RELAZ. AL CONTORNO



RISULTANTE DEGLI SFORZ. ELEM.  $p \vec{n} d\vec{s}$   
AGENTI SUI SING. ELEM. DI  $\partial V$   
= SPINTA CHE  $\partial V$  ESERCITA SU V  
(REAZ. VINCOLARE)

## STATICA FLUIDI INCOMPRESIBILI

Ipotesi :

- campo gravità:  $\vec{F} = \text{grad}(U) = -\text{grad}(gz) \quad \uparrow^z \downarrow \vec{g}$

$$\rightarrow p \cdot \text{grad}(gz) = \text{grad}(p)$$

- fluido incompressibile:  $\text{grad}(-pgz) = \text{grad}(-gz) = \text{grad}(p)$

$$\rightarrow \text{grad}(z + \frac{p}{g}) = 0$$

QUOTA  
REAZIONE.

$$h = z + \frac{p}{g} = \text{cost.}$$

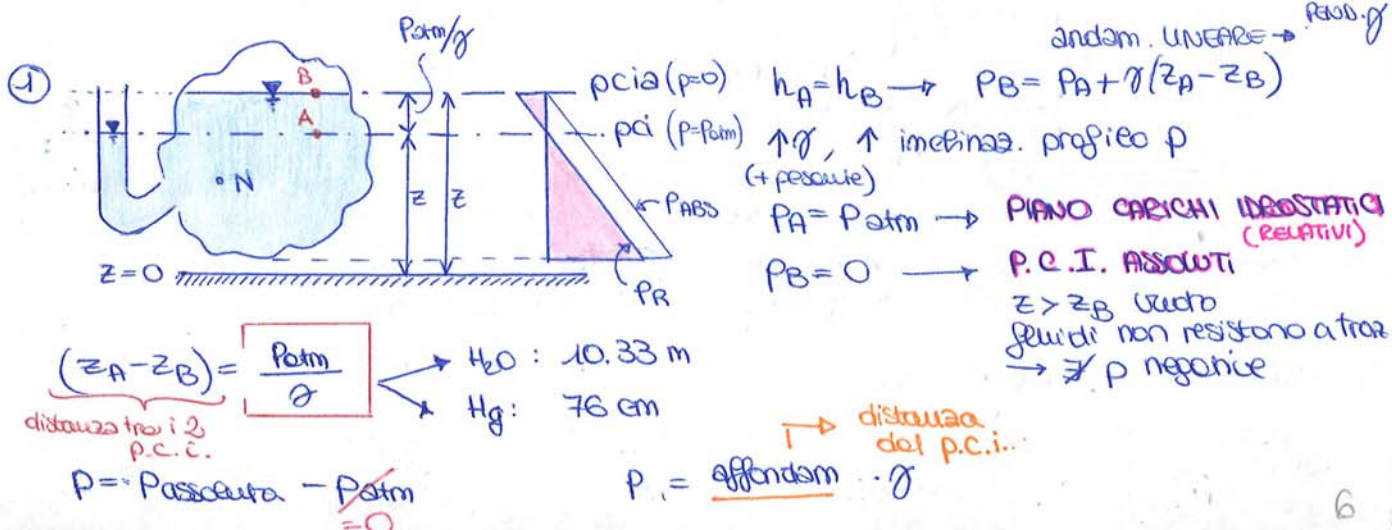
↑ QUOTA  
GEODETICA      ↓ ALTEZZA  
REAZIONE.

LEGGE DI STEVINO  
o leg. fondam. della statica

- statico
- fe. incomp.

OSS. 1: sup. isobare ( $p=\text{cost} \rightarrow z=\text{cost}$ ) sono piani orizz., essendo infatti tali le sup. equipot. ( $U=\text{cost}$ ,  $f=\text{cost}$ )

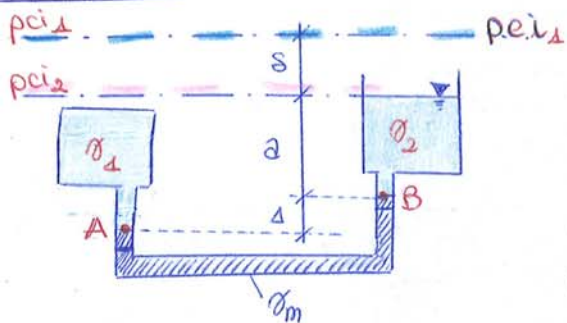
OSS. 2:  $h =$  quota del piano orizz. in cui  $p=0$



#### ④ MANOMETRO DIFFERENZIALE

misura la differenza di tra i p.c.i.  
(differenza tra quote pression. h)

$$4.a) \quad \delta_1 = \delta_2 = \delta$$

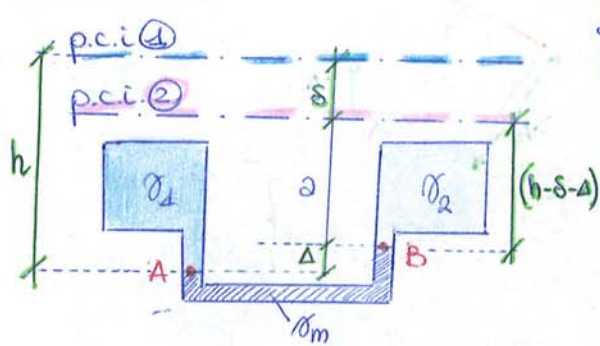


$$\begin{aligned} P_B &= \gamma \cdot s \\ P_A &= P_B + \delta_m \Delta \quad (\text{DA DX}) \\ P_A &= (s + a + \Delta) \gamma \quad (\text{DA SX}) \end{aligned}$$

$$\begin{aligned} P_B + \delta_m \Delta &= (s + a + \Delta) \gamma \\ \cancel{\delta_m} + \cancel{\delta_m} \Delta &= \cancel{\delta} \gamma + \cancel{\delta} \Delta + \cancel{\Delta} \gamma \end{aligned}$$

$$\delta = \frac{\delta_m - \delta}{\gamma} \Delta$$

$$4.b) \quad \delta_1 \neq \delta_2$$



$$\begin{cases} P_A = (\Delta + a + s) \delta_1 & (\text{DA SX}) \\ P_A = P_B + \Delta \delta_m & (\text{DA DX}) \\ P_B = a \delta_2 \end{cases}$$

$$(\Delta + a + s) \delta_1 = a \delta_2 + \Delta \delta_m$$

$$\delta = \frac{a \delta_2 + \Delta \delta_m}{\delta_1} - \Delta - a =$$

$$= \frac{a \delta_2 + \Delta \delta_m - \Delta \delta_1 - a \delta_1}{\delta_1} =$$

$$\delta = \frac{\delta_m - \delta_1}{\delta_1} \Delta + \frac{\delta_2 - \delta_1}{\delta_1} a$$

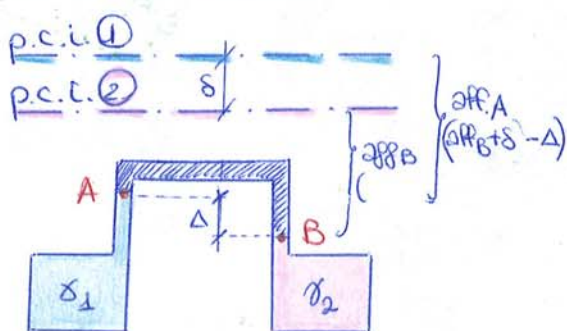
$$\begin{cases} P_B = (h - \delta - \Delta) \delta_2 \\ P_A = h \delta_1 \\ P_A = P_B + \Delta \delta_m = (h - \delta - \Delta) \delta_2 + \Delta \delta_m \end{cases}$$

$$h \delta_2 - \delta \delta_2 - \Delta \delta_2 + \Delta \delta_m = h \delta_1$$

$$\delta = \frac{h \delta_2 - \Delta \delta_2 + \Delta \delta_m - h \delta_1}{\delta_2} \rightarrow \delta = \frac{\delta_m - \delta_2}{\delta_2} \Delta + \frac{\delta_2 - \delta_1}{\delta_2} h$$

$$4.c) \quad \delta_m < (\delta_1, \delta_2)$$

→ capovolgo tubo a U



$$\delta_1 = \delta_2 = \delta$$

$$\begin{cases} P_A = \delta \cdot \alpha f_{\text{A}} = \delta (\alpha f_{\text{B}} - \Delta + \delta) \\ P_B = P_A + \Delta \delta_m = \delta \cdot \alpha f_{\text{A}} + \Delta \delta_m \\ P_B = \delta \cdot \alpha f_{\text{B}} \end{cases}$$

$$(\cancel{\delta} \alpha f_{\text{B}} - \cancel{\delta} \Delta + \cancel{\delta} \delta) + \Delta \delta_m = \cancel{\delta} \cdot \alpha f_{\text{B}}$$

$$\delta = \frac{\delta_m - \delta}{\gamma} \Delta$$

CENTRO DI SPINTA

$$C = (\xi_1, \eta) \rightarrow C \text{ sempre sotto } G!$$

$$\xi_C = \left( x_G + \frac{I_{xy}}{H} \right) > x_G$$

→ posiz di C indipendente da  $\alpha$ , resto imalterato anche se piano ruota

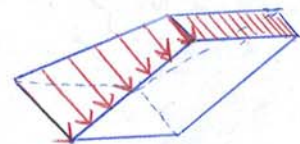
$$\eta = 0 \rightarrow I_{xy} = 0 \rightarrow \text{asse } x \text{ di simm. per } d\Omega$$

$C$  è asse simm. = asse  $x$   
(di max pend.)

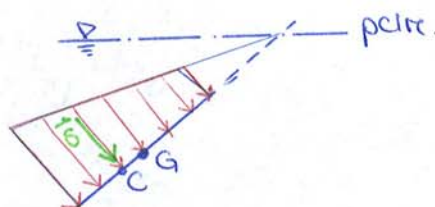
OSS.: per passo per  $G$  ( $G$  è pnt)  $\Rightarrow \begin{cases} \vec{s} = 0 \\ C(\infty) \end{cases}$

sup. soggette a momento

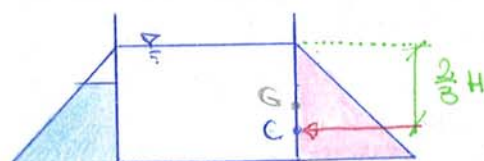
ess.: se sup. critica  $\rightarrow$  l.s. ( $\infty$ )  $\rightarrow C \equiv G$   
 $\rightarrow$  p cost. im VP delle sup



VOLUME DI SPINTA



CENTRO DI SPINTA = BARICENTRO DEL VOLUME DI SPINTA



base a sea TRIANGOLARE  $\rightarrow C \text{ a } \frac{2}{3} H$   
TRAPEZOIDALE  $\rightarrow$  difficile a trovare  $\xi_1, \eta$

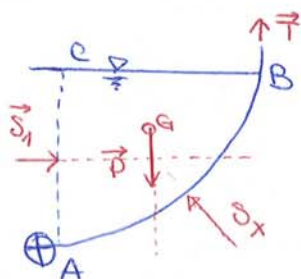
$$S = p_G \cdot \Omega$$

calcolo rispetto al baricentro  $G$  di  $\Omega$

$x_C$  p.t.o di applicaz. della spinta  $S$

$$\text{come } \left( x_G + \frac{I_{xy}}{H} \right) > x_G$$

$\Downarrow$  almeno  
 $x_C$  sempre sotto  $x_G$



Paratia sorretta da tirante  $\rightarrow$  spinta  $\vec{T}$

Reggendo imchimaz. destra paratia  
contraccia

Cerchiere sul fondo  $\oplus$

? Spinti del fluido sulla paratia

Scegli volume FINITO, la cui UNICA SUP. CURVA sia quella di cui  
l'altro volume finito com. sea. ABC; di lungh. unitaria  $\rightarrow$

veglio calcolare  $S_x$ .  
calcolo spinto  
x unità di lungh.

$$\vec{P} + \vec{F}_c = 0$$

peso proprio  
applicato in G

di chiusura

contorni

$\rightarrow$  2 sup. piene di H unitaria,  
ma in posiz. uguali e contrarie,  
essendo alla stessa distanza dal p.c.i.c.  
 $\rightarrow$  si semplificano

$\rightarrow$  2 sup. piene, 1 sup. curva

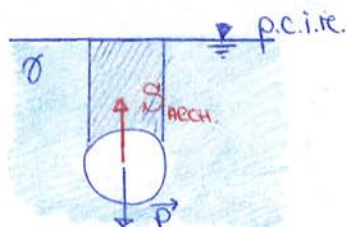
$$\overline{AC} - \overline{CB} - \widehat{\overline{AB}} \rightarrow S_x$$

applicato a  $\frac{2}{3}H$  p.c.i.c. cost.,  
spinto = 0 (paratia su  
fluido)

$$\vec{P} + \vec{F}_c = 0 \rightarrow \vec{P} + \vec{S}_x + \vec{S}_\perp = 0$$

$$\vec{S}_x = -(P + S_\perp) \rightarrow -S_x = P + S_\perp$$

### PRINCIPIO DI ARCHIMEDE



corpo solido immerso in un fluido

Fluido esercita spinta  $\vec{S}$  sul contorno del corpo.)

equa.z.

equili. globale :  $\vec{P} + \vec{F}_c = 0 \rightarrow \vec{S}_{\text{ARCH.}} = -\vec{P}$

PEGO DEL  
FLUIDO  
SPOSTATO

$\rightarrow$  scelto come volume finito  
quello proprio del corpo immerso  
(immaginandolo riempito di liquido)  $\Rightarrow$

- PESO CORPO  $> \vec{P}$  :  $\vec{S}$  verso il basso  
corpo affonda
- P. CORPO  $= \vec{P}$  :  $\vec{S} = 0 \rightarrow$  equilibrio indifferente
- P. CORPO  $< \vec{P}$  :  $\vec{S}$  verso l'alto  
corpo raggiunge equilibrio quando forza parete sup. recip.  
 $\hookrightarrow$  GALLEGGIANTI

# CINEMATICA

Velocità e accelerazione sono concetti implicitamente come caratteristiche proprie di un solido.

Per quanto riguarda un fluido in movimento questi stessi concetti andranno riferiti alle PARTICELLE del fluido → "fluidi GRANULARI" (non del BARICENTRO). Stesso ragionamento va' eseguito per un gas, partendo dall'ipotesi di gas rarefatto.

Dunque, quando parliamo di velocità e accelerazione di un fluido è l'èpito domandarsi di chi o di cosa siano queste caratteristiche.

↓  
2 approcci      ↙ LANGRAGIANO  
                    ↘ EULERIANO

IPOTESI DI ESISTENZA DELLA PARTICELLA,  
SENZA PREOCCUPARSI DELLA SUA NATURA

## Approccio Lagrangiano

Ipotizzato fluido composto da moltitudine di particelle in movimento, ciascuna delle quali è dotata di una velocità propria, l'approccio lagr. si concentra sulla descrizione della TRAIETTORIA.

Coordinate spaziali  $(x, y, z)$  sono le incognite principali dell'analisi delle vicende delle singole particelle istante per istante.

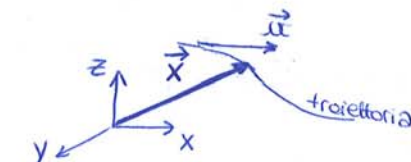
$$\vec{U} = \frac{d\vec{x}}{dt} \quad \begin{matrix} \text{vettore posizione} \\ \text{della sing. particella} \\ \text{rispetto al sist. riferim. (xyz)} \end{matrix}$$

$$\vec{A} = \frac{d\vec{U}}{dt} \quad \vec{U} = (u, v, w)$$

$$\vec{x} = \vec{x}(x_0, y_0, z_0, t)$$

TRAIETTORIA

$$\begin{cases} x = x(x_0, y_0, z_0, t) \\ y = y(x_0, y_0, z_0, t) \\ z = z(x_0, y_0, z_0, t) \end{cases}$$



FUNZIONI oggetto studio delle cinematiche dei fluidi per Lagrange  
(3 FUNZ. SCALARI EQUIVALENTE)

DESCRIZIONE SPAZIALE A TEMPO FISSATO.

$$\text{Se } \vec{U}, \vec{A} = f(x, y, z, t) \Rightarrow \vec{U} = \frac{\partial \vec{x}}{\partial t}, \quad \vec{A} = \frac{\partial \vec{U}}{\partial t}$$

Ulteriore motivo studio dei processi di diffusione di particelle eterogenee in un fluido in moto (es.: trasporto di fluidi, come traiettorie del profumo).

La traiettoria quindi è descritta come frutto del campo di moto.

Resta il problema di definire cosa sia una particella del fluido.

$$\vec{U} = \vec{U}(x, y, z, t) \rightarrow \begin{cases} U = U(x, y, z, t) \\ V = V(x, y, z, t) \\ W = W(x, y, z, t) \end{cases}$$

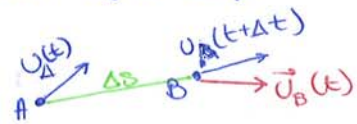
CAMPO DI MOTO

↑  
per derivaz. defeq.  
EQ. TRAIETTORIA

definizione di moto  
 Dati due pti A e B nella massa fluida ( $A, B$  non sono 2 particelle) all'istante  $t$  il pto A occupava posiz.  $\vec{r}_A(t)$  e v.  $\vec{v}_A(t)$ , trascorso  $\Delta t$  lo stesso pto sarà nel pto B con  $\vec{v}_B(t+\Delta t)$ .

$$\vec{a} = \lim_{\Delta t \rightarrow 0} \frac{\vec{v}_B(t+\Delta t) - \vec{v}_A(t)}{\Delta t}$$

$$(\text{= } \frac{\partial \vec{v}}{\partial t}, \text{ LAGRANGE})$$



All'istante  $(t+\Delta t)$  il pto B sarà occupato contemporaneamente da un'altra part. con  $\vec{v}_B(t)$

$$\vec{a} = \lim_{\Delta t \rightarrow 0} \frac{\vec{v}_B(t+\Delta t) - \vec{v}_B(t)}{\Delta t} + \frac{\vec{v}_B(t) - \vec{v}_A(t)}{\Delta s} \cdot \frac{\Delta s}{\Delta t} =$$

$$\frac{\partial \vec{v}}{\partial t} + \frac{\partial \vec{v}}{\partial s} \cdot |\vec{v}|$$

ACC. LOCALE

variaz. temporale di  $\vec{v}$  in un p.t.  
 variaz. infinitesima dello spazio  
 nel singolo p.to al passare del  $t$ , indipendentemente dalla particella che sta occupando quel pto in quel  $t$   
 (VARIAZ. LOCALE)

ACC. CONVETTIVA

(termine complicato)

variaz. spaziale della  $\vec{v}$   
 dello spazio delle particelle che nell'intervallo  $dt$  è passata da  $(x, y, z)$  a  $(x+u dt, y+v dt, z+w dt)$

descriz. spaz. del campo di moto

ACC. EULERIANA

$$\frac{D\vec{v}}{Dt} = \frac{\partial \vec{v}}{\partial t} + \frac{\partial \vec{v}}{\partial s} |\vec{v}|$$

DERIVATA SOSTANZIALE,

$$\frac{D\vec{v}}{Dt}$$

In generale:

$$\frac{D\phi}{Dt} = \frac{\partial \phi}{\partial t} + \frac{\partial \phi}{\partial s} |\vec{v}|$$

Regola di derivazione euleriana

(ogni particella come «subita» le proprietà)

Es.: come varia densità se segue particella?

$$\frac{D\rho}{Dt} = \frac{\partial \rho}{\partial t} + \frac{\partial \rho}{\partial s} |\vec{v}|$$

$$\left\{ \begin{array}{l} A_x = \frac{Du}{Dt} = \frac{\partial u}{\partial t} + u \frac{\partial u}{\partial x} + v \frac{\partial u}{\partial y} + w \frac{\partial u}{\partial z} \\ A_y = \frac{Dv}{Dt} = \frac{\partial v}{\partial t} + u \frac{\partial v}{\partial x} + v \frac{\partial v}{\partial y} + w \frac{\partial v}{\partial z} \\ A_z = \frac{Dw}{Dt} = \frac{\partial w}{\partial t} + u \frac{\partial w}{\partial x} + v \frac{\partial w}{\partial y} + w \frac{\partial w}{\partial z} \end{array} \right.$$

**PORTATA**

$$Q \rightarrow \left[ \frac{m^3}{s} \right]$$

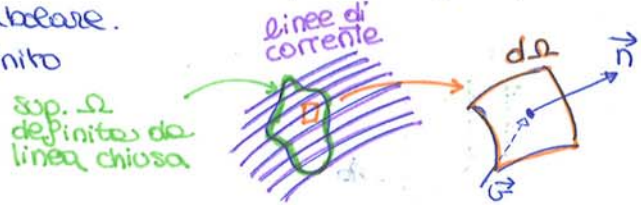
Dato un fluido in movimento, considero una generica curva chiusa che delimita un'area di infinitesima d $\Omega$  all'istante t\*.

Il complesso di linee di corrente, che allo stesso istante passano per il p.t.o della linea chiusa, descrivono una sup. tubolare.

Tale sup. racchiude uno spazio definito

**TUBO DI FLUSSO**.

data la forma  
perche' fluido  
in movim.



Per definizione di linea di corrente, il vettore velocità  $\vec{v}$  avrà solo componente tangenziale a tali linee, quindi:

$$v_n = \vec{v} \cdot \vec{n}$$

compon. velocità lungo  $\vec{n}$ ,  
cioè normale a d $\Omega$

unica comp. che  
contribuisce al  
passaggio air. fl.

**PORTATA ELEM.**

$$dQ = v_n \cdot d\Omega = \vec{v} \cdot \vec{n} \cdot d\Omega = \frac{dV}{dt}$$

volume di fluido che  
attraversa d $\Omega$  all'istante t\*

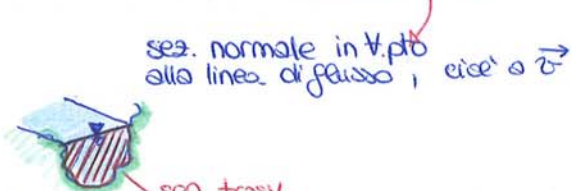
$$Q = \int_{\Omega} \vec{v} \cdot \vec{n} d\Omega = \int_{\Omega} v_n d\Omega$$

volume di fluido che all'istante t\*  
attraversa sez. trasversale

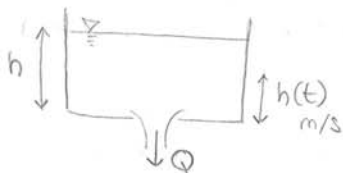
VEL. MEDIA  
della sez. trasv.

$$\bar{V} = \frac{Q}{\Omega}$$

È vel. effettiva!



Quindi il tubo di flusso non viene attraversato dal fluido all'istante t\*.



volume uscente

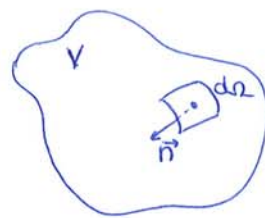
$$Q \cdot dt = \frac{m^3}{s} \cdot s$$

vol. entrante

$$h(t) \cdot d\Omega = \frac{m}{s} \cdot m^2$$

~~per~~

## Equazione globale di continuità



Volume finito  $V$  di fluido, isolato nel campo di moto e contornato da infinito  $d\Omega$ .

BILANCIO DELLA MASSA  $\downarrow$  entrante ( $v_n > 0$ )  
uscente ( $v_n < 0$ )

per effetto del campo di moto.

Non considero eventuali possibili sorprese, valutati invece qualcosa il fluido sia soggetto a TRASFORMAZ. DI STATO. Es.: neve).

PASSAGGIO DI MASSA ATTRAVERSANDO  $d\Omega$ : 
$$\left( \int_{d\Omega} p \cdot v_n d\Omega \right) dt = \frac{1}{dt} \int_V p dV$$
  
$$\int_{d\Omega} (p \vec{v} \cdot \vec{n}) d\Omega = \left( \frac{1}{dt} \int_V p dV \right)$$
  
$$\int_{d\Omega} p \vec{v} \cdot \vec{n} d\Omega = \int_V \frac{\partial p}{\partial t} dV$$

VARIAZ. DI MASSA NELLO STESSO dt PER EFFETTO DEL CAMBIAMENTO DI  $p$

SE DOMINIO DI INTEGRAZ. ( $V$ ) NON DIPENDE DALLA VARIAB. ( $M$ ), CHE STO INTEGRANDO ( $t$ ).

Se FL. INCOMPRESSIBILE ( $\rho = \text{cost.}$ )  $\rightarrow \int_{d\Omega} v_n d\Omega = 0$  FLOW DEL  $\vec{v}$  ATTRAVERSANDO  $d\Omega$  CHIUSA E' NULLA

## Equazione di continuità applicata alle correnti

CORRENTE: moto del fluido caratterizzato da traiettorie di  $N$  particelle SOSTANZIALI, rettilinee e parallele tra loro.

→ termine inerziale: linee divergenti di poco (DESCRIZIONE PUNTUALE)

Nelle situaz. pratiche → TRATTAZIONE UNIDIMENSIONALE:

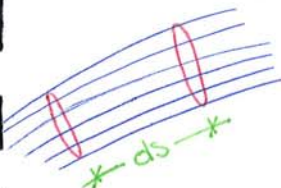
corrente trattata nell'insieme, senza soffermarsi su un singolo p.t., osservando sez. trasversali successive, individuate dall'unica variabile  $s$ .

→ distanza da ses. origine

POSIATA,  $Q$   
VEL. MEDIA,  $V$   
AREA SEZ. TRASV.,  $\Omega$

$$\left. \begin{array}{l} = f(s, t) \\ \text{allora} \end{array} \right\} \rightarrow \text{corrente e' determinata}$$

Considero un tronco di corrente tra 2 sezioni distanti  $ds$ .



BILANCIO DELLA MASSA nell'intervallo  $dt$ :

~~$$pq dt - (pq + \frac{\partial(pq)}{\partial s} ds) dt = - \frac{\partial(pq)}{\partial t} dt$$~~

$$\left[ \frac{\partial(pq)}{\partial s} ds + \frac{\partial(pq)}{\partial t} dt \right] = 0$$

→ FLUIDO INCOMPRESSIBILE:  $\rho = \text{cost}$

$$\frac{\partial p}{\partial s} + \frac{\partial \Omega}{\partial t} = 0$$

→ MOTO PERMANENTE:  $\frac{\partial(\rho\Omega)}{\partial t} = 0 \rightarrow \rho \Omega V = \text{cost}$

$$\frac{\partial(\rho\Omega)}{\partial t} = 0 \rightarrow \rho \Omega V = \text{cost}$$

→ PERMAN. + INCOMP.:  $\frac{\partial Q}{\partial s} = 0 \rightarrow Q = Q(s) \rightarrow Q = Q(t) \rightarrow Q = (\Omega \cdot V) = \text{cost}$

$Q$  è INVARIANTE del moto

## VINCI FISI

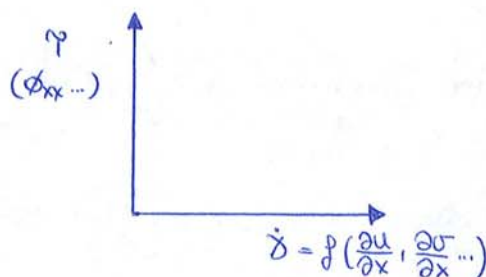
Sulla base di quanto studiato finora abbiamo a disposizione 5 equaz. scalari

- **equazione indefinita del moto:** condizioni di equilibrio dinamico in V. pto del campo  
→ 3 equaz. scalari (conservaz. quantità moto)
- **equazione di continuità:** principio conservaz. della massa.  
$$\frac{\partial P}{\partial t} + \operatorname{div}(\vec{p}) = 0$$
- **equazione di stato:** legame fra densità, stato di sforzo, temperatura fluido.  
 $\rho = \rho(\phi_{xx}, \dots, \phi_{yz})$   
in generale, considero proc. isoterm.

Nel complesso ho 5 EQUAZIONI SCALARI IN 10 INCognITE  $f(x,y,z,t)$

Per risolvere il problema scrivo le mancanti 5 equaz.

sulla base delle proprietà RELOGICHE del fluido (ricavate sperimentalmente), dalle quali dipendono le RELAZIONI FRA GLI SFORZI E LE DEFORMAZ.



Sostituisco sforzi con valori in ascissa del piano reologico, dati dalla curva reologica, caratteristica di H fluido.

↓  
→ H fluido ha propria equaz. indefinita

Ricapi tomando,

il SISTEMA DI EQUAZ. DINAMICHE DIFFERENZIALI che regoleano il moto del fluido in V. pto del campo,

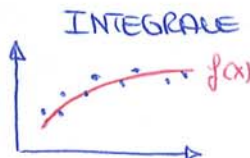
risolte per INTEGRAZIONE ALLE DERIVATE PARZIALI

→ (trattaz. LOCALE)

determina gli ELEMENTI CARATTERISTICI DEL MOTO (10 incognite)

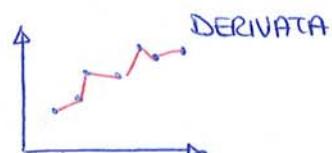
- {
- eq. indefinita del moto
  - eq. continuità
  - eq. di stato
  - relaz. sforzi-deform.
  - condiz. al contorno e iniziali

Questo risultato è di difficile stima, essendo le derivate molto + sensibili degli integrali. Infatti, già solo riflettendo sul significato geom. :



= Area sottesa da  $f(x)$

Anche una prima interpolaz. di  $f(x)$  approssima bene l'area =



= tau alla funz.

Variazioni sensibili.

Tuttavia

spesso è richiesta solo una descriz. d'insieme del moto (azioni globali esercitate dal fluido sulle sup. di controllo), in cui quindi è irrilevante una conoscenza approfondita della  $\vec{U}$  e delle componenti di  $\vec{\sigma}$ .

$$\vec{P} + \vec{F}_c + \vec{H} - \vec{I} = 0 \quad \rightarrow \text{COINVOLGO SOLO IL CONTORNO!}$$

$$\vec{P} = \int_V \rho \vec{F} dV$$

RISULT. DELLE FORZE DI MASSA agenti sui  $\nu$  particelle del volume  $V$  di fluido.  
Se fluido è sottoposto solo al campo gravitaz. → PESO DEL FLUIDO ( $|P| = \gamma V$ )

$$\vec{F}_c = \int_{\Omega} \vec{\sigma}_n d\Omega$$

RISULT. DELLE FORZE AL CONTORNO, cioè degli sforzi esercitati sul fluido attraverso la frontiera. → SINTA trasmessa al fluido dalla sup. di contorno

$$\vec{H} = \int_A \rho \vec{v}_n \vec{u} d\Omega$$

$$= \oint \rho Q \vec{u}$$

FUSSO DELLA QUANTITÀ DI MOTO =  $\vec{n} \int_{\Omega} \rho u^2 d\Omega$   
 $v_n d\Omega = dQ \rightarrow \rho dQ$  →  $\rho \vec{u} dQ$   
 massa che transita attraverso  $d\Omega$  nella unità di tempo → quantità di moto

$$\vec{I} = - \int_V \frac{\partial(\rho \vec{u})}{\partial t} dV$$

RISULT. DELLE INERZIE LOCALI  
dipende solo da come  $\vec{u}$  e  $\rho$  variano nel tempo.  
Nullo se moto permanente ( $\partial/\partial t = 0$ )

$$\vec{I} = \frac{d}{dt} \int_V \quad \rightarrow \text{diminuz. nel tempo della quantità di moto}$$

### OSSERVAZIONI

- $\vec{P}$  indipendente dal campo di moto  
 $\vec{H}$  dipendente solo dalle condiz. al contorno del campo di moto (conseguenza del teor. Green → int. di sup.)  
 $\vec{I}$  è l'unica che contempla tutto, compreso il tempo  $t$
- CORRENTE → linee parallele e  $\perp$  tra loro, velocità tutte  $\parallel$  tra loro  $\Rightarrow \begin{cases} \vec{u} = u \cdot \vec{n} \\ \exists! \vec{n} \end{cases}$   
 $\int_{\Omega} \rho u v_n d\Omega = \rho \vec{n} \int_{\Omega} u^2 d\Omega$

Essendo complesso ricavare profilo velocità e  $\rho$  in  $\forall$ pto del fluido, si utilizzano caratteristiche medie riferite ad una sezione trasversale e addotto un coeff. di RAGGIAMENTO:

$$\beta = \frac{\int_{\Omega} \rho u^2 d\Omega}{\rho_m V^2 \Omega} \approx 1$$

← modulo quant. moto  
← quant. moto della corrente con = portata e  $\rho, u$  cost  $\forall$ pto

$$\int_{\Omega} \rho v_n \vec{u} d\Omega = \vec{n} \int_{\Omega} \rho u^2 d\Omega = \vec{n} (\rho V^2 \Omega) \beta = \vec{n} \rho V Q \beta$$

$v_n = \vec{u} \cdot \vec{n}$        $\beta$        $Q = V \Omega$

# TEOR. di BERNOULLI → ESERCITAZ. 3

L'equaz. globale della dinamica ( $\rightarrow$  condiz. di equilibrio delle forze agenti sul fl.) e il teor. di Bernoulli ( $\rightarrow$  relazione tra le  $\neq$  energie im gradi) costituiscono la base delle idrodinamiche (teorico ed applicata).

TEOR. DI BERNOULLI - fluido perfetto  $\rightarrow$  si deduce dalla EQUAZIONE DI EULER

Ipotesi:

$$1) \text{ Fluido perfetto } (\gamma_x = \gamma_y = \gamma_z = 0, \alpha_x = \alpha_y = \alpha_z = p)$$

sfrutto eq. fluidi perfetti (EQ. EULER)  
assenza di sforzi tg. in grado di assorbire lavoro assorbire le CONSERVAZ. ENERGIA MECCANICA.

$$2) \text{ Fluido incompressibile } (p = \text{cost.})$$

l'unico a cui il fluido sia soggetto, da cui deriva l'unica forza a cui sia soggetto, FORZA DI MASSA,  $\vec{F} = -\rho g \text{grad}(z)$   
 $\uparrow$  (conservative)

$$\rho(\vec{F} - \vec{A}) = \text{grad}(p)$$

EQ. INDEFINITA DEI FLUIDI PERFETTI  
o EQ. DI EULER (1775)

$$\cancel{\rho(-g \text{grad}(z))} - p\vec{A} - \text{grad}(p) = 0$$

) IP. 3  
IP. 2 ( $p$  cost.)  
 $\gamma = p \cdot g$  (cost.)

$$+ \cancel{\rho \text{grad}(z)} + p\vec{A} + \text{grad}(p) = 0$$

divido tutto per  $\gamma$  (cost.)

$$\text{grad}(\gamma z + p) = -p\vec{A}$$

$$\text{grad}\left(z + \frac{p}{\gamma}\right) = -\frac{1}{\gamma} \frac{d\vec{u}}{dt}$$

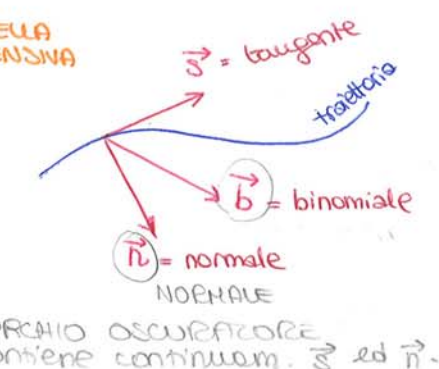
$\frac{p}{\gamma}$  QUOTA PIEZOMETRICA

Riscrivendo questa relaz. vettoriale rispetto ad una terna di riferimento intrinseco su una traiettoria

$$\begin{cases} \frac{\partial}{\partial s} \left( z + \frac{p}{\gamma} \right) = -\frac{1}{\gamma} \left( \frac{\partial \vec{u}}{\partial t} \right) = -\frac{1}{\gamma} \left( \frac{\partial u}{\partial t} + u \frac{\partial u}{\partial s} \right) \\ \frac{\partial}{\partial n} \left( z + \frac{p}{\gamma} \right) = -\frac{1}{\gamma} \left( \frac{u^2}{\gamma} \right) \\ \frac{\partial}{\partial b} \left( z + \frac{p}{\gamma} \right) = 0 \end{cases}$$

ACCELERAZ. CENTRIPETA

MODULO DELLA VEL. INTENSA



CERCHIO OSCULATORE  
contiene continuum.  $s$  ed  $n$ .

Ipotesi del teor. di Bernoulli:

- 1) FLUIDO PERFETTO: lungo gran parte della traiettoria (salvo tratto terminale) la velocità è modesta e, quindi, anche i $\gamma$  sono piccoli (i $\gamma$  è grad u)
- ↑  
effetti dissipativi trascurabili quando i $\gamma$  basse (relativam.)
- 2) STAZIONARIETÀ: - fluido in entrata e in uscita costante  
- dimensioni seghettato > a dimens. luce  $(\frac{\partial}{\partial t} \approx 0)$   
→ variaz.  $\neq$  trascurabile
- 3) GRAVITÀ g: responsabile della fioriniscita del liquido verso basso.
- 4) FLUIDO INCOMPRESSIBILE ( $\rho = \text{cost.}$ ) → F ammette potenziale

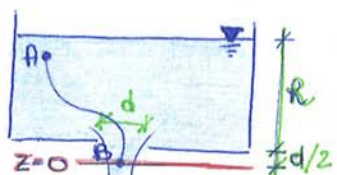
Studiando il getto:

traiettorie convergono verso luce,

quee lungo fondo piano convergono alla luce, prima di disperdersi verticalm. per effetto di g, cioè prima di abbandonare fondo

SEZIONE CONTRATTATA:

prima sez. trasversale della corrente è graduallm. variata e in cui traiettorie fuori usciti dal foro sono sensibilmente parallele tra loro,  
A sez.  $\ll A_{\text{LUCE}}$  e dista dal foro  $d = 0,5 \text{ m}$   
→ CURVATURA  $\neq$  ALTA  
(\*) → PRESSIONE IDROSTATICA  
 $p=0$  in vpto, esistendo nulla al contorno, in cui c'è a contatto con atm.



Traiettoria AB.

Pressione con andam. idrostatico.

BENOVU

$$h_A = h_B$$

$$z_A + \frac{p_A}{\rho g} + \frac{u_A^2}{2g} = z_B + \frac{p_B}{\rho g} + \frac{u_B^2}{2g}$$

→ BEZO

$$p_A + (\rho g : 1)d$$

per ipotesi  
 $u_A \ll u_B$

B E sez. contrattata,

press. idrostatica

$$p_B = p_{\text{atmos}} = p_{\text{atm}} = 0$$

$$\Rightarrow u_B = \sqrt{2g(R + (0,5 \div 1)d)}$$

$d \ll h$

$$u_B \approx \sqrt{2gh}$$

→ p<sub>f</sub> e sez. contrattata TORRICELLI

U' di TORRICELLI:

velocità di efflusso di un liquido da una luce è pari a quello che assumerebbe un grave inizialm in quiete, cadrando nel vuoto da un'altezza h.

La 2<sup>a</sup> spiega perché getto si smorza, anziché essere sguadrato

Sperimentalm.:

$$u_B = C_V \sqrt{2gh}$$

COEFF. DI CORREZ.  
 $= 0,99$

PORIATA della

$$\text{LENA D'EFFLUSSO}, Q = u_B \cdot \Omega = C_V \sqrt{2gh} \cdot \frac{\pi d^2}{4} C_c =$$

AREA SEZ. CONTRATTATA

velocità di efflusso effettiva è < di questo torricelliana, avendo trascurato effetti dissipativi.

$$\frac{C_c \cdot C_V}{0,61} \frac{\pi d^2}{4} \sqrt{2gh}$$

$C_c$ : COEFF. CORREZ.  
 $C_V$ : C. VEL. (0,99)  
 $C_c C_V$ : C. EFFL. (0,61)

## TEOR. BERNOULLI

Ipotesi :

- 1) FLUIDO PERFETTO ( $\gamma_x = \gamma_y = \gamma_z = 0$ )
- 2) CAMPO GRAVITAZIONALE ( $\vec{F} = -g\hat{z}\text{grad}(z)$ )
- 3) FLUIDO INCOMPRESSIBILE ( $\rho = \text{cost.}$ )
- 4) MOTO STAZIONARIO ( $\frac{\partial}{\partial t} = 0$ )

$$\frac{\partial}{\partial s} \left( z + \frac{p}{\rho g} \right) = - \frac{1}{\rho g} \frac{D\vec{U}}{Dt}$$

DERIVATA (SOSTANZIALE)  
DELLA VELOCITÀ INTENSIVA

↓  
componente secondo l'arco  
dell'acceleraz. dell'elem. fluido

$$\frac{\partial}{\partial s} \left( z + \frac{p}{\rho g} + \frac{u^2}{2g} \right) = - \frac{1}{\rho g} \cdot \frac{\partial u}{\partial t}$$

Proiezione dell'EQUAZ. DI EULERO  
lungo la tg, cioè sull'arco della traiettoria

$$\vec{v} = \vec{v}(t; s(t))$$

$$\frac{\partial \vec{U}}{\partial t} = \frac{\partial \vec{u}}{\partial t} + \vec{u} \frac{\partial \vec{u}}{\partial s} = \frac{\partial \vec{u}}{\partial t} + \frac{1}{2} \left( \frac{\partial \vec{u}}{\partial s} \right)^2$$

IPOTESI 4:  
 $\frac{\partial}{\partial t} = 0$

$$\left( \frac{\partial H}{\partial s} \right) = - \frac{1}{\rho g} \frac{\partial u}{\partial t}$$

$$z + \frac{p}{\rho g} + \frac{u^2}{2g} = \text{cost.}$$

= H CARICO TOTALE  
TRIANGOLIO DI BERNOULLI

QUOTA GEODETICA

$\frac{mgk}{\rho g}$  en. cinet.  
x unità di peso

ALTEZZA CINETICA

$\frac{1}{2} \frac{\rho u^2}{\rho g}$

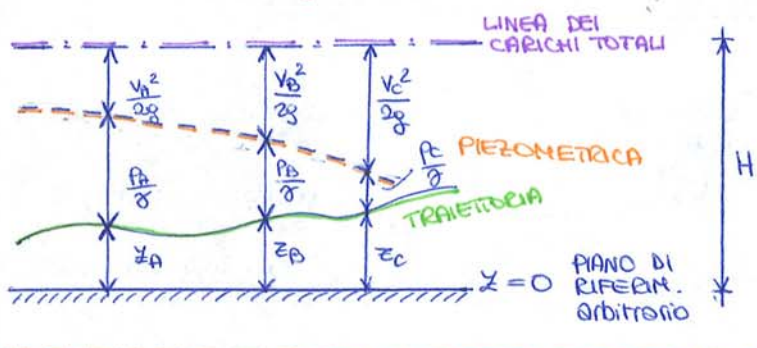
energia cinetica  
per unità di peso

cost,  
resta invariante  
lungo una traiettoria

ALTEZZA PIEZOM.  
permette passaggio da  
micro discr. a macro. continuo

$$z + \frac{P}{\rho g} = h \quad \text{CARICO PIEDIMETRICO}$$

### Interpretazione geometrica



$\frac{P}{\rho g}$  è l'en. spec. legata alla pressione, la quale diminuisce x unità di peso di  $\frac{P}{\rho g} = h$ , come conseguenza di un aumento dell'en. posizionale di una quantità  $h dv$ , seguito di uno spostam. verso l'alto di  $dv$  immerso in un liquido.



PRESIONE - LA FORZA RISULTANTE  
E' LA SPINTA DI ARCHIM.

### TEOR. BERNOULLI

Nel moto permanente di un fluido perfetto pesante incompressibile,

- il carico totale H si mantiene cost. lungo la traiettoria.
- l'en. mecc. si mantiene cost (H) lungo la traiettoria.

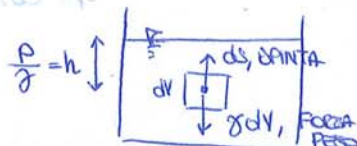
### Interpretaz. energetica

H = ENERGIA MECCANICA  
complessiva posseduta nella  
unità di peso del fluido in moto  
→ ENERGIA SPECIFICA

z = EN. POSIZIONALE  
en. pot. dell'unità di peso

$\frac{v^2}{2g}$  = EN. CINETICA

$\frac{P}{\rho g} (= R) =$  EN. DI PRESSIONE



Nel caso del getto, presa una colonna di liquido isolata da vena fia, sua sua porzione alta  $dz$  non sarà sorretta da liquido sottostante, non essendoci un appoggio solido.

↓  
Liquido non è in quiete, ma sta cadendo descrivendo traiettoria parabolica, poiché interviengono F. RESO e F. D'INERZIA, che si sono equilibrati:

$$mg = pA \quad \text{or} \quad \rho g A dz = p A dz \quad \text{or} \quad \rho g V = p V$$

$$\frac{dp}{dz} = 0$$

$$p = 0 \text{ su } \text{fondo}$$

$$H = z_A + \frac{p_A}{\rho g} = z_B + \frac{v_B^2}{2g} \quad \rightarrow \quad u_B = \sqrt{2g(h_f - z_B)}$$

$\underbrace{\qquad\qquad\qquad}_{h \text{ fondo}}$

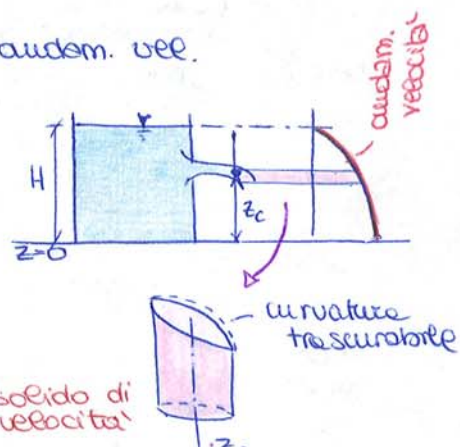
Ora profilo velocità è parabolico.

Se  $h \gg d$ , in prima battuta posso approssimare andam. vel. trascurando curvatura

$$z_{\text{CENTRO}} \rightarrow v = v_B|_{z_c} = \sqrt{2g(h_f - z_c)}$$

vel. media =  $\int$  velocità baricentro C della sea. trasversale

$$Q = c_e \frac{\pi d^2}{4} \cdot \sqrt{2g(h_f - z_c)}$$



Ssea sea. trasv. cui appartiene B la velocità ha andam. parabolico.

Vel. del getto sarà velocità media.

In realtà il taglio non è piano, dunque, non parabolico.

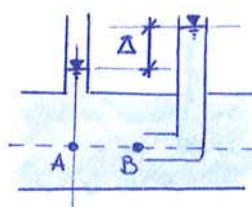
Tuttavia sono sufficientem. in basso rispetto a parabola, cioè abbastanza lontano dalla curvatura, oltre che tratto considerato è piccol.



Se variaz. spaziale << dominio studiato (= forma delle luci), posso approssimare questo tratto come rettilineo

Se luci grandi, qst curvatura diventa apprezzabile.

## Tubo di Pitot



?  $\Delta$  = differenza di quota tra i 2 menischi

B: pto di ARRESTO (o di RISTAGNO)  $\rightarrow v_B = 0$  (menisco non oscilla; ge. nel pto. è a suff. distanza da poter considerare corrente indisturbata (traiettorie sostanziali, rettilinee e parallele)).

A, B a distanza suff. piccole da considerare flusso cost. ( $\frac{\partial}{\partial t} = 0$ )

Possiamo sfruttare leq. Bernoulli:

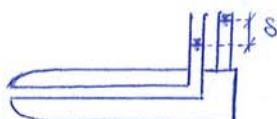
$$H_A = H_B \rightarrow z_A + \frac{P_A}{\rho} + \frac{u_A^2}{2g} = z_B + \frac{P_B}{\rho} + \frac{u_B^2}{2g}$$

$\underbrace{h_A}_{\text{essendo } u_B=0 \text{ per ipotesi}}$

$$\Rightarrow u_A = \sqrt{2g(h_B - h_A)} \quad \Delta = (h_B - h_A)$$

$h_A$ : misurata con piezom. nella sezione contenente A (corrente rettilinea e parallela  $\rightarrow$  sez. trasversale ad h cost.)

$h_B$ : misurata con piezom.

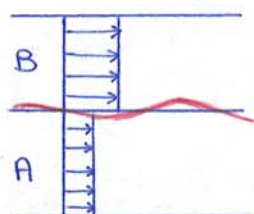


In realtà c'è problema turbolenza.

Dimensioni diametrali molto piccole

CONTRO :

## Kelvin - Helmholtz



? INSTABILITÀ

2 fluidi in parallelo con proprie velocità  $\neq$ . Se fluido perfetto, allora  $\nabla P$  tra i 2 fluidi è la sup. di separaz. tra i 2 fluidi è piatta.

Ip.: debolezza perturbaz. (es.: sinusoidale).

Osservando le sez. trasv. sopra rispettive creste delle sup. di separaz. perturbata, queste si saranno ridotte  $\rightarrow$  hanno dovrà accelerare  $\rightarrow$  increm. infinit. di velocità

Sfruttando Bernoulli, dato che essere  $H = \text{cost.}$   $\nabla P$  è sez. trasversale;

$$H = z + \frac{P}{\rho} + \frac{u^2}{2g} \xrightarrow{du > 0} \downarrow P$$

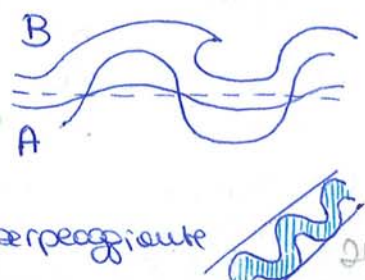
Intanto, sotto la stessa cresta, la sezione si stira allargata  $\rightarrow dv < 0 \rightarrow \uparrow P$   
 $\Rightarrow$  dislivello di  $P$ , cioè FEEDBACK POSITIVO (meccanismo instabile)

Col trascorrere del tempo le oscillaz. diventano finite (+ grandi)  
 $\rightarrow$  onde, interfaccia degenera (non più piatta)

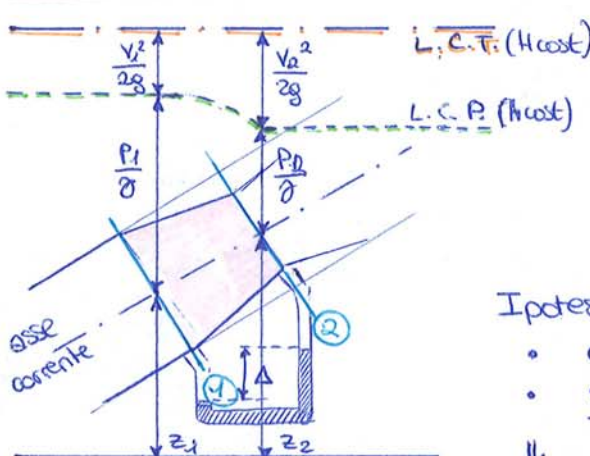
In atm: quando 2 correnti  $\neq$  si incontrano, sup. separaz. definita dai nubi originate da pto di regiada. (NUBI ALA KELVIN- HELMHOLTZ)



In mare: corrente del Golfo. Anziché lineare resta + serpeggiante  $\rightarrow$  percorre + spazio e impiega + tempo.



## VENTURIOMETRO



Corrente gradualem. Variata  
dal tubo leggerm. convergente (sez. 1-2)  
↓ riduce termine cinetico

Ipotesi:

- corrente in prima approssimazione lineare.
- dissipaz. energ. nel tratto compreso tra le sez. 1-2 trascurabile, essendo tale tratto corto e converg. debole.

↓ quota piezom. h cost. im t/s. (Bernoulli)

→ considero un'unica LINEA PIEZOM. (quella ASSIALE) e un'unica LINEA CARICHI TOTALI sovrastante l.c.p. di  $\frac{V^2}{2g}$

Bernoulli fra le sez. estreme del convergente:

$$\delta = h_1 - h_2 = \frac{\alpha V_1^2}{2g} - \frac{\alpha V_2^2}{2g}$$

$$Q = \frac{A_1 A_2}{\sqrt{A_1^2 - A_2^2}} \sqrt{2g \Delta \frac{\rho_m - \gamma}{g}}$$

$$\left. \begin{array}{l} V_1 = \frac{Q}{A_1} \\ V_2 = \frac{Q}{A_2} \end{array} \right\}$$

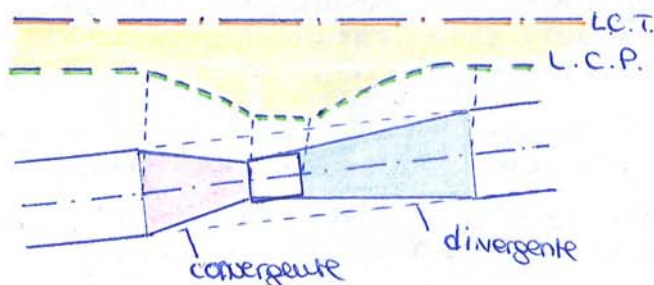
$$\begin{aligned} Q &= \text{cost} \\ \delta &= \frac{\rho_m - \gamma}{\rho} \Delta \end{aligned}$$

$h_1, h_2$  letti su piezometri relativi a sez. 1 e 2 (h cost. su sez. trans.) oppure attraverso MANOMETRO DIFFERENZIALE

$$\hookrightarrow \delta = \frac{\rho_m - \gamma}{\rho} \Delta$$

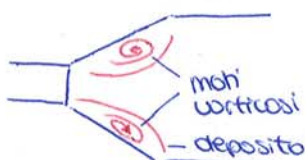
Nel convergente, dove la corrente accelererà, lo l.c.p. si abbassa, allontanandosi progressivamente dal l.c.t. → termine cinetico ↑ mentre  $H = \text{cost}$  dopo

Per riportare il diametro della tubazione al suo valore originale, convergente appare un divergente di lunghez. >, sempre al fine di ridurre le dissipazioni.



Difetti

- lunghez. del divergente
- nella realtà, corrente non ha traiettorie rettilinee → problema del DISTARCO DI VENA



Fluido non a stretto contatto con pareti  
→ molti vorticosi → deposito

# FLUIDI REALI = FLUIDI VISCOSI

Costituiscono particolare categoria di processi di moto, **fluidi viscosi**.

Gli sforzi tg non sono + trascurabili, a causa dell'altro prodotto x effetto della viscosità propria del fluido. Nascono perciò delle Η che si oppongono al moto, dissipando parte delle energie meccaniche ( $H$  non più costante), trasformando cioè parte delle en. potenziali in en. cinetica, e quindi in calore → spenda energia x spostare fluido.

$$\mu \neq 0 \rightarrow \eta \text{ attritive} \rightarrow H \neq \text{cost} \rightarrow \text{dissipaz. en.}$$

Ricordando la LEGGE DI NEWTON

$$\vec{\sigma}_n = \vec{n} p$$

$$\begin{array}{l} \text{STATO DI} \\ \text{SPORZO} \end{array} \left[ \begin{array}{ccc} \sigma_{xx} & \sigma & \sigma \\ \sigma & \sigma_{yy} & \sigma \\ \sigma & \sigma & \sigma_{zz} \end{array} \right] = \left[ \begin{array}{ccc} \sigma_x & & \text{simm.} \\ \sigma_z & \sigma_y & \sigma_y \\ \sigma_y & \sigma_x & \sigma_z \end{array} \right] = \left[ \begin{array}{ccc} p & \text{simm.} \\ 0 & p & \\ 0 & 0 & p \end{array} \right] + \left[ \begin{array}{ccc} \sigma_x - p & & \text{simm.} \\ \sigma_z & \sigma_y - p & \\ \sigma_y & \sigma_x & \sigma_z - p \end{array} \right]$$

$$\text{PRESSIONE } p = \frac{1}{3} (\sigma_x + \sigma_y + \sigma_z)$$

IDROSTATICA  
(st. tens. isotropo)

DEVIATORE  
DEGLI SPORZI  
↳ associati alla  
viscosità

e ricordando l'EQUAZ. DI EULER:

$$p(\vec{F} - \vec{A}) = \frac{\partial \sigma_x}{\partial x} + \frac{\partial \sigma_y}{\partial y} + \frac{\partial \sigma_z}{\partial z} \quad (= \text{grad } p, \text{ per fl. perfetti})$$

ricordo l'eq. che relazioni le componenti dello sforzo con le prop. fisiche del fluido:

$$\Rightarrow p(\vec{F} - \vec{A}) = \text{grad}(p) - \mu \nabla^2 \vec{u} - \frac{1}{3} \mu \text{grad} \cdot \vec{u}$$

EQ. NAVIER - STOKES

o EQUAZ. INDEF. DI EQUILIBRIO DI FLUIDI REALI (VISCOSI)

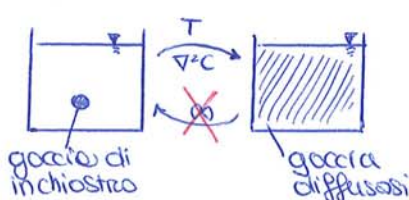
$$\text{Se INCOMPRESSIBILE: } \left\{ \begin{array}{l} p(\vec{F} - \vec{A}) = \text{grad } p - \mu \nabla^2 \vec{u} \\ (\rho = \text{cost.}) \quad -\frac{1}{3} \mu \text{grad} \cdot \vec{u} = 0 \end{array} \right. \quad \text{dall'eq. di continuità: } \text{div} \vec{u} = 0$$

La viscosità è espressa dal termine  $-\mu \nabla^2 \vec{u}$  = RISULTANTE DELLE FORZE ORIGINATE DALLA VISCOSITÀ X UNITÀ DI VOLUME, IN V.P.TO (smussa variaz. spaz., grad. velocità)

Pertanto non linearità dell'eq. già propria delle eq. di Euler, per  $\vec{A}$ .

$$\nabla^2 \cdot = \frac{\partial^2}{\partial x^2} + \frac{\partial^2}{\partial y^2} + \frac{\partial^2}{\partial z^2}$$

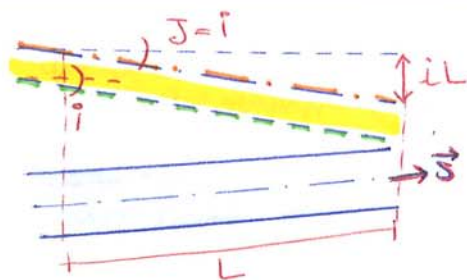
TERMINE DIFFUSIVO



$$\nabla^2 C : \frac{\partial C}{\partial t} \quad \text{LEGGE DI FICK}$$

Lento processo di diffusione

Gradi di concentraz. spaz., cioè grad. di grad  
→ smussi i gradi



$$f = -\frac{\partial H}{\partial s}$$

PENDENZA NOTRICE

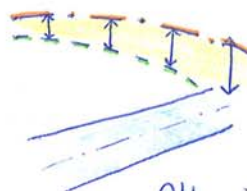
Variaz. della l.c.t.  
per unità di percorso

→ perdita di energia subita dall'unità di peso di fluido, nell'unità di percorso

segmento "-":  $\frac{\partial H}{\partial s} < 0$ , essendo  $\vec{s}$   
nel senso del moto

OSS. 1: caso trattato di sez. cilindrica cost. è caso particolare,  
In generale, cioè per sez. che varia rastremandosi (non cost.)  
l.c.t. è parabolico ed  $i = i(s)$ .

OSS. 2: L.E.P. non sarà + parallelo al l.c.t.  
(caso particolare di sez. circ. cost.),  
ma si allontana da l.c.t., essendo  
 $V \neq \text{cost.}$



$$-\frac{\partial H}{\partial s} = i(s) = -\frac{\partial h}{\partial s}$$

$i = i$  (geom, fluido ...)

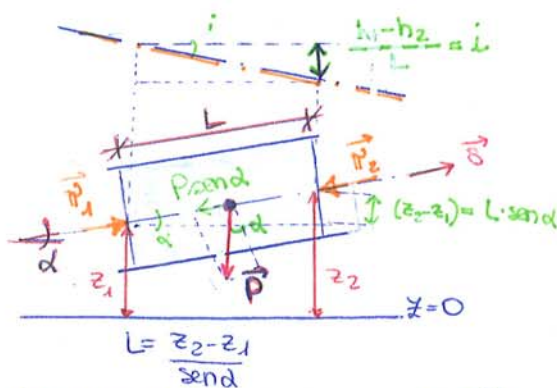
$$i = -\frac{\partial H}{\partial s}$$

caso particolare:  $H(s) = H_0 - \int_0^s i(s) ds$

caso generale:  $H(s) = H_0 - s \cdot i$

CARICO TOT.  
A MONTE ( $s=0$ )  
moto

LCT e LCP no orizz. xK Η dissipano en.  
 $Q_{\text{cost}} \rightarrow$  termine cin. cost.  $\rightarrow$  LCT // LCP.



Progetto lungo direz. moto ( $\vec{-s}$ ):

$$P_s = \left( \gamma \Omega \frac{L}{w} \right) \text{send} = -\gamma \Omega (z_2 - z_1)$$

$$\vec{T} = p_1 \vec{L} - p_2 \vec{L}$$

$$\Rightarrow \vec{T} = \gamma \Omega \left[ \left( z_2 + \frac{p_2}{\gamma} \right) - \left( z_1 + \frac{p_1}{\gamma} \right) \right] = \gamma \Omega (h_2 - h_1) = \underbrace{\gamma \Omega i L}_{\text{peso}}$$

SFORZO TQ A LA PARETE

AZIONE DI TRASCINAMENTO DELLA CORRENTE

RISULTANTE DELLE Η lungo

corr. in pressione, confinato (NO sup. libera)

$\mu \neq 0 \rightarrow$  grad. velocità  $\rightarrow$  Η attrattive

Η attrattive in senso opposto al moto  
agente su part. corrente a contatto con condotto  
→ Fluido trattenuto da parete (grad. velocità)  
• Parete trascinata da fluido

Tronco di corrente compreso tra le sezioni del 2 e applica EQ. GLOBALE DELL'EQUILIBRIO DINAMICO

$$\vec{P} + \vec{P}' - \vec{T} + \vec{I} + \vec{H}_e - \vec{H}_u = 0$$

$H_e = H_u$

(sez. cil. cost.)

forze normali n'isp.  $\vec{s}$   
esistono, ma non danno contributo

$i =$  A2. DI TRASCINAMENTO  
MEDIAN. ESERCITATA  
DALL'UNITÀ DI PESO  
DEL FLUIDO

- Uniform. distrib. in un cond. de,  
data sua simm. assiale

G

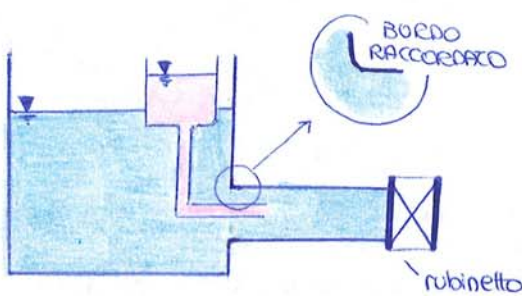
PA

SEI

In

va

## ESPERIENZA DI REYNOLDS (1883)



contenente il liquido con stesso  $\rho$ , ma colorato.

Serbatoio contenente liquido in quiete con superficie libera a quota costante, da cui deriva un tubo con bordo raccordato (= ben arrotondato, senza spigoli  $\rightarrow$  corrente meno disturbata possibile), alla cui estremità di valle è posto un rubinetto x la regola di liquido che defluire nel tubo stesso.

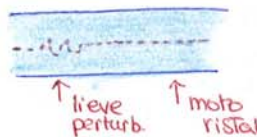
nel imballo del tubo  $\rightarrow$  posto lo sbocco di un ago, che parte da un altro serbatoio + piccolo

Aprendo legg. il rubinetto, liquido si mette in moto con velocità estremam. bassa. Liquido colorato iniettato si tende a tutta la tubazione, percorrendo una traiettoria sostanzialm. rettilinea e parallela, mantenendosi nettam. distinto e stabilis. dalla rimanente massa fluida.

$\downarrow$   
Le particelle passano per uno stesso p.t. e percorrono una traiettoria comune senza rimescolamenti con fluido circostante

$\downarrow$   
Moto avviene x LAMINE CONCENTRICHE =

una qualsiasi perturbaz. artificiosa si attenua e scompare



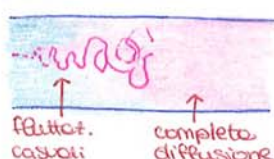
- no scambi di massa tra un filetto e l'altro
- 2 componenti normali della velocità
- lamine + veloci sono neutri, velocità decresce verso periferia

Aprendo progressivam. il rubinetto, aumenta la portata  $Q$  ( $\Rightarrow \uparrow$  velocità  $\rightarrow$ ). Filetto colorato inizia a fluttuare (regime di moto di transiz.).

Un'ulteriore apertura del rubinetto ( $\uparrow Q$ ) non aiuta ( $=$  entrando ogni causa di perturbaz.):

$\downarrow$

CANBIAMENTO STRUTTURALE



= apparente casualità dei movim. di agitaz. sovrapposti al moto di trasporto

traiettorie = curve tanto complesse da non poter essere descritte dalle geom. euclidee  
 $\hookrightarrow$  tanto dense da ricordare delle sup.

- completa diffusione del filetto colorato nella massa fluida circostante
- nascono fluttuaz. irregolari detta  $\vec{u}$  delle singole particelle
- continuo scambio di massa nel campo di moto

$\downarrow$   
in cui si sovrappongono 2 moti:

- DI TRASPORTO:  
spostm. d'insieme della massa fluida
- DI AGITAZIONE:  
irregolare oscillaz. dei conduttori di moto attorno ai loro valori medi.

NOTE  
LAMINARE

TRANSIZ.  
m.

TURBOLENTO

## MODELLO (equazione differenziale)

$$\rho(\vec{F} - \vec{A}) = \text{grad}(p) - \mu \nabla^2 \vec{u} \quad (\text{Navier-Stokes})$$

Complessità del moto  $\xrightarrow{\text{detta da}}$  complessità delle traiettorie  $\xrightarrow{\vec{A}}$   
 ↓  
 impossibile risolvere equaz.

## ADIMENSIONALIZZAZIONE VARIABILI

→ generalizzano problemi fisici, così da poter confrontarli, anche se molto  $\neq$  tra loro

1) Individuo il problema fisico

2) Individuo scale tipiche, riferitivamente al prob. fisico in esame:

- scale della lunghezza,  $l$
- " cinematica,  $u_0$
- " del tempo,  $\frac{l}{u_0}$  ( $\rightarrow$  ora, dopo aver già definito le scale della lung. e cinemat.)
- " delle pressioni,  $\mu u_0^2$  del tubo di Pitot:  $\frac{u_0^2}{2g} \cdot g = \frac{u_0^2}{2g} \cdot pg = \frac{u_0^2}{2} p$ )

3) Normalizzo

(imuento  $\approx$  rispetto alle lung. tipiche)

$$\tilde{x} = \frac{x}{l} \quad \tilde{y} = \frac{y}{l} \quad \tilde{z} = \frac{z}{l}$$

$$\tilde{u}, \tilde{v}, \tilde{w} = \frac{u, v, w}{u_0}$$

$$\tilde{t} = \frac{t}{l/u_0}$$

$$\tilde{p} = \frac{p}{\mu u_0^2}$$

variano tutte tra 0 e 1.

Puoi confrontare problemi con scale  $\neq$ .

4) Impongo grandezze adimensionali a nell'eq. Navier-Stokes, proiettata secondo  $x$ :

$$[\rho \cdot (\vec{F} - \vec{A})] \cdot \frac{1}{\rho} = [\text{grad}(p) - \mu \nabla^2 \vec{u}] \cdot \frac{1}{\rho}$$

↳ grad(gh)

$$-\text{grad}(gh) - \vec{A} = \frac{1}{\rho} \text{grad}(p) - \frac{\mu}{\rho} \nabla^2 \vec{u}$$

$$-g \frac{\partial h}{\partial x} - \frac{D u}{D t} = \frac{1}{\rho} \frac{\partial p}{\partial x} - \frac{\mu}{\rho} \nabla^2 u$$

MODELLO MATEMATICO: NAVIER-STOKES (fluido newton.)  
 $\rho(\vec{F} - \vec{A}) = \text{grad}(p) - \mu \nabla^2 \vec{U}$

Scate tipiche del problema  $\rightarrow$  adimensionaliizzate

Riscale l'equazione lungo  $x$ :

$$-\frac{1}{Fr^2} \frac{\partial \tilde{h}}{\partial x} - \frac{\partial \tilde{U}}{\partial x} = \frac{\partial \tilde{p}}{\partial x} - \frac{1}{Re} \nabla^2 \tilde{U}$$

- compaiono solo GRANDEZZE ADIMENSIONALIZZATE, variabili  $[0, 1]$   
 E' riscaleato,  
 stessi ordini di grandezza  $\rightarrow$  problemi con scale  $\neq$  diventano confrontabili
- osserviamo i coeff.  $Fr$  ed  $Re$  per comprendere il significato fisico

$$Re = \frac{\rho U_0 L}{\mu} \quad \leftarrow \text{FORZE D'INERZIA}$$

$\leftarrow$  F. VISCOSI

$$\left\{ \begin{array}{ll} Re \rightarrow \infty & \text{m. turbosotto} \\ & (\text{trasporto + agitaz.}) \end{array} \right. \rightarrow \left. \begin{array}{l} \text{f. d'inerzia,} \\ (\mu \propto 0) \end{array} \right. \begin{array}{l} \text{irrilevante} \\ \nabla^2 \tilde{U} \end{array}$$

$$\left. \begin{array}{ll} Re \rightarrow 0 & \text{m. laminare} \\ & (\text{trasporto}) \end{array} \right. \rightarrow \left. \begin{array}{l} \text{f. viscosa,} \\ \nabla^2 \tilde{U} \end{array} \right.$$

termini sottratti ai I e II membro

$$\nabla^2 \tilde{U} \rightarrow \frac{\partial \tilde{U}}{\partial x} \text{ trascurabile}$$

EQ. EQUAZIONE adimens.

riferimenti

$$Fr = \frac{U_0^2}{gL} \quad \leftarrow \text{EN. CINETICA}$$

$\leftarrow$  // POTENZIALE

$$\left\{ \begin{array}{ll} Fr \uparrow & \text{en. potenziale} \\ & \text{piccolo rudo.} \end{array} \right. \rightarrow \frac{\partial \tilde{h}}{\partial x} \text{ trascurabile}$$

$\left. \begin{array}{l} \text{en. cinetica} \\ \text{più importante} \end{array} \right. \rightarrow$

- Se  $Re = Fr$   $\rightarrow$  variabili scalate =

$\hookrightarrow$  l'equaz. nello spazio delle variabili scalate è =  
 $\rightarrow$  posso studiare il fenomeno in laboratorio  
 (mosca - aereo)

$\downarrow$

Riproduco in scala meccanica ( $= Fr, = Re$ )  
 no in scala geom.

Costruisco modelli in scala meccanica, ma no in scala geom.

$\hookrightarrow$  ma

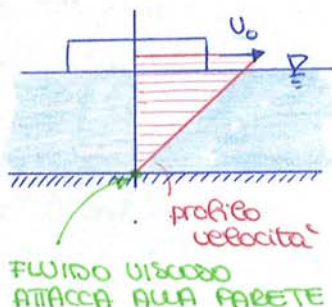
con lo stesso fluido non è possibile scalare con  $Re = Fr =$   
 Devo cambiare fluido  $\rightarrow$  Difficoltà pratiche

# CORRENTI IN PRESSIONE: MOTO LAMINARE & M. TURBOLENTO

## MOTO LAMINARE

(o Viscoso o REGOLARE)

- studio moto laminare per capire il moto turbolento
- ragioni pratiche (campi applicativi):
  - mezzi porosi (acquiferi, petrolio) → regolare  
traiettorie rettilinee e //  
velocità basse
  - sangue (no nel cuore)
  - micro-fluidica (t. lubrificazione)



FUIDO VISCOSO  
ATTACCA ALLA PARETE (= velocità fluido vicino alla parete  
e = velocità parete, cioè = 0 )

### LAMINE ORDINATE

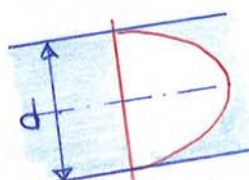
Componenti di agitaz. debo vefocita'  $\rightarrow$  tutte  
 ↳ traiettorie effettive delle singole particelle  
 ≡ con traiettorie del moto medio  
 (se m. unif.: traiett. rettilinee e //)

La lamina che si muove a vefocita'  $U_0$  trascina gradualm. quelle  
 sottostanti.

Profilo di vefocita' LINEARE ↳ ciò è possibile perché fluido è viscoso  
 e sfrutta FORZE TANGENZIALI

Invece in fluido perfetto  $\rightarrow \exists \gamma$

ma per avere  $\exists$  profilo di vefocita' devo agire solo con FORZE NORMALI costante



FUIDO VISCOSO IN CONDOTTO



lamine = cilindri cavi  
 strati esterni sono + lenti

$$Re = \frac{U_0 D}{\mu} \quad \leftarrow \begin{array}{l} \text{FORZE D'INERZIA} \\ \text{F. VISCOSE} \end{array}$$

$\ell$  = scala tipica  
 (in condotto è DIAMETRO)

Re basso  $\rightarrow$  fluido in moto laminare  
 $\uparrow$   
 (U\_0 bassi  
 $\mu$  alto)

Re < 2.000

$\uparrow$  scala tipica  
 di problema pratico

Vefocita' può moltiplicarsi per Bouyplaciano  $\nabla^2$ , che diffondono  
 → smussa i gradienti debo vefocita'

A Re crescere di Re  $\rightarrow$  TURBOLENZA  
 CATASTROFE  $\rightarrow$  prevalgono F. D'INERZIA  
 $\nabla^2$  trascurabile

$$T = \mu \int_{\Omega} \frac{\partial \vec{U}}{\partial \vec{n}} d\Omega$$

cost.  $\vec{U}$  costante solo lungo  $\vec{s}$

$$\begin{aligned}\frac{\partial \vec{U}}{\partial \vec{n}} &= 0 \\ &= 0 \frac{\partial U}{\partial r}\end{aligned}$$

per simm. CILINDRICA

- componenti tg delle spinte sono = 0 sulle 2 basi (uscita, ingresso) per UNIFORMITA' moto. Infatti fluido si muove uniforme all'asse del condotto
- componente normale a sup. esterna è  $\perp$  asse  $\vec{s}$

$$\Rightarrow \Omega = \Omega_{\text{LATERALE, cilindrica}} = 2\pi R \cdot L$$

$$T = \mu \frac{du}{dr} \int_{\Omega} dr = \mu \left( -\frac{du}{dr} \right) (2\pi r \cdot L)$$

$$T = \gamma \pi r^2 L i$$

$$\frac{du}{dr} = -\frac{\gamma}{2\mu} ri$$

PROFILO VELOCITA'  $\vec{U}$   
nella sez. trasversale, lungo  $r$

$$\frac{du}{dr} = -\frac{\gamma}{2\mu} ri \rightarrow u(r) = -\frac{\gamma}{2\mu} \frac{r^2}{2} i + C_1$$

$$\text{condiz. al contorno} \rightarrow u(r=R=\frac{D}{2}) = 0$$

velocità nulla  
delle particelle a contatto  
con pareti

$$U = \frac{\gamma i}{4\mu} \left( \frac{D^2}{4} - r^2 \right)$$

PARABOLIDE

$$\begin{cases} U_{\min} = 0 & U(r=R=\frac{D}{2}) \\ U_{\max} = \frac{\gamma i}{16\mu} D^2 & = U(r=0) \end{cases}$$

Una generica sezione  
è una PARABOLA.

N.B.: ipotesi di fluido perfetto  
aurebbe implicato  $\mu=0$  e  $i=0$

$\Downarrow$

$$U(r) = -\frac{\gamma}{2\mu} i \frac{r^2}{2} + c \quad \text{dovetterebbe un'identità}$$

del tipo  $0=0$ .

$$Q = \int_0^{D/2} U(r) \cdot 2\pi r \cdot dr$$

(POISEUILLE)

$$i \propto \frac{1}{D^4}$$

$\downarrow D \Rightarrow$   $\text{PIÙ RESIST.}$

PENDENZA  
NOTICE

EN. PERSA

In caso di sezione circolare  
ottengo tutte le formule in via  
analitica, partendo da N-S

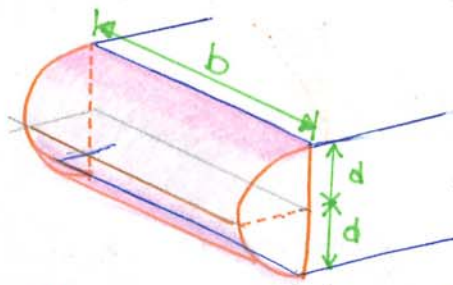
$$\begin{cases} Q = \frac{\pi}{128} \frac{\partial i}{\mu} D^4 \\ U_{\text{MEDIA}} = \frac{Q}{\Omega} = \frac{Q}{\pi^2 D^2 / 4} = \frac{1}{32} \frac{\partial i}{\mu} D^2 \\ i = \frac{128}{\pi^2} \frac{Q \mu}{\Omega} \frac{1}{D^4} \end{cases}$$

$$U = + \frac{\partial i}{2\mu} \cdot (d^2 - y^2)$$

$$U_{max} = U(y=0) = - \frac{\partial i}{2\mu} d^2$$

piano meridiano

PARABOLOIDI DI TRASLAT. UNICO  $\neq$



metà INF  
+ metà SUP.

$$Q = \int_0^d U \cdot b dy = \int_0^d \frac{\partial i}{2\mu} (d^2 - y^2) \cdot b dy = \frac{\partial i}{\mu} b \int_0^d (d^2 - y^2) dy =$$

$$= \frac{\partial i}{\mu} b \left[ d^2 y - \frac{y^3}{3} \right]_0^d = \frac{\partial i}{\mu} b \left( d^3 - \frac{d^3}{3} \right) = \frac{2}{3} \frac{\partial i}{\mu} b d^3$$

$$\downarrow U = \frac{Q}{\Omega} = \frac{Q}{bd} = \frac{2}{3} \frac{\partial i}{\mu} d^2 \quad \left. \begin{array}{l} \\ R = \frac{\Omega d^2}{P_{\square}} = \frac{bd^2}{2b + 2d} = d \\ \text{TRASCURABILE} \end{array} \right\} U = \frac{1}{3} \frac{\partial i}{\mu} R^2$$

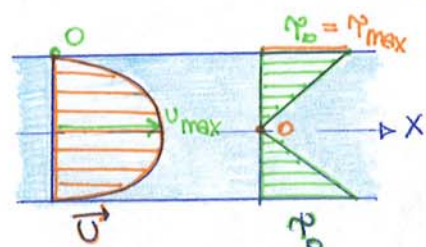
### OSSERVAZIONI

possibili grazie a  $\mu$

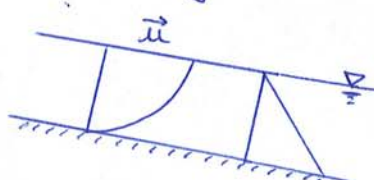
$$\tau = \mu \frac{du}{dy}$$

$$\left\{ \begin{array}{l} \text{IN CENTRO, } \frac{du}{dy} = 0 \rightarrow U_{max} \Rightarrow \tau = 0 \text{ FLUIDO SI COMPORTA COME IDEALE} \\ \text{AI BORDI, } \frac{du}{dy} = \max \rightarrow U_{min} = 0 \Rightarrow \text{SOLI SUP. + VICINA INFLUENZA METÀ} \end{array} \right.$$

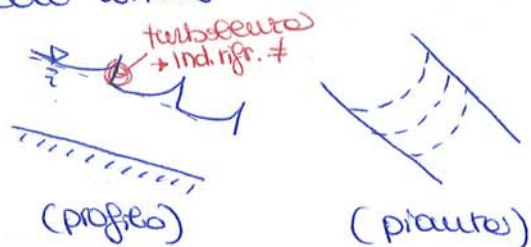
$\downarrow$   
piano meridiano  
= piano simm.  
del moto



Togliendo metà sup. del campo di moto  
 $\Rightarrow$  scarico piano meridiano (= esente dalle  $\tau$ )  
 $\rightarrow$  nulla contraria x campo di moto unif.  
e ottengo NOTO LAMINARE DI CORRENTE A PELLO LIBERO CON PENDENZA  $i$ .



Ma se  $Re \uparrow \rightarrow$  moto laminare diventa turb.  
ROLE WAVES



## MOTO TURBOLENTO

Fenomeno APPARENTEMENTE CAOTICO E CASUALE,  
descritto dal superam. di una velocità critica del fluido.

per un aumento infinitesimo  
delle portate

Problema tanto complesso da costituire un modello di sist. complesso  
per molti altri temi (APPLICATIVI, TEORICI, AMBIENTALI...)

### Caratteristiche generali:

- CAOTICITÀ (IMPREVEDIBILITÀ) : traiettorie delle particelle (= fluido turbolento) appaiono estremamente COMPLESSE contrariam. a quelle del m. laminare  
→ molto semplici e regolari
- NON LINEARE: cambiam. strutturale delle traiettorie nel passaggio NON-LINEARE da m. lami. a m. turb., segnato da incremento infinitesimo delle portate  $Q_1$  e quindi delle velocità  
→ IPER sensibilità del sistema
- DISSIPATIVO: delle' energia propria delle traiettorie, contrariam. a m. lami.  
→ traiett. seguono unica direz. → NO DISSIP.
- DIFFUSIVO: incrementa processi di trasporto (scambio chimi.-Term.), rompendo così le simm. → altrum. sfruttarebbe solo GRAD. DI CONCENTRAZ.  
→ visualizzaz. del fenom. in una bandiera col vento o in una pentola che bolle
- ROTAZIONE : (VORTICITÀ) Navier-Stokes, direz. fondam.  $\vec{U}$   
 $\text{rot } \vec{U} \neq 0$   
sist. almeno 3D, altrum. moto si spegne.

Questo problema legato alle grandezze medie per fortuna è risolto dal pto di vista pratico (non concettuale), poiché le misurazioni vengono scelte in tempi molto lunghi.

Esempio:

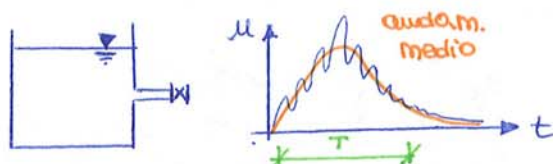


Dopo un certo  $T$ , come si smorza

Scalca di osserva. dipende da precisione strum.

Img. → filtrare sbagliate di  $\epsilon$

Esempio:



Kolmogorov riuscisse problema di trattare le medie con **MEDIA D'INSIEME PER NEUTI VARI.**

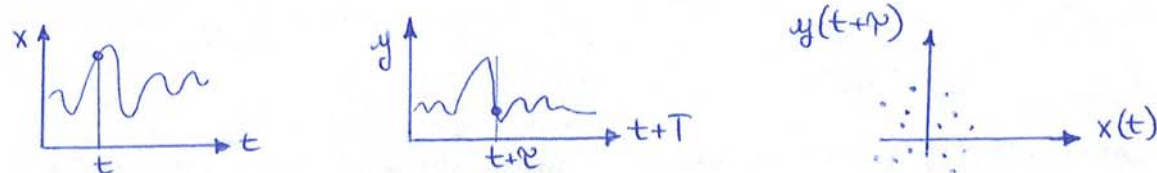
Noi semplicemente il problema non cambiamo strum. d'osservazione, ma colpo di osserva., semplicem. non considerando le variaz. temp.

→ sfruttiamo OPERAT. MEDIA TEMP.

## 2° PASSO: CORRELAZIONE

Suppongo 2 processi generici che variano nel tempo e ne cerco l'eventuale legame:

Es.: velocità in un pto, pressio d'aria, variaz. P e variaz. T ...



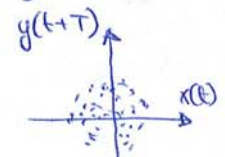
Dato  $x(t)$ , segno corrispondente  $y(t+\tau)$  e riporto pto nel piano  $(x(t), y(t+\tau))$ .  
Trascorso un certo tempo, ripeto l'operazione  $\rightarrow x(t_2), y(t_1+\tau) \dots$

↓  
nuovo  
di p.ti

CASO 1:  $x, y$  INDIPENDENTI

Per  $\forall x$  può capitare  
un qualsiasi  $y$ .

↔ legame tra  $x$  e  $y$

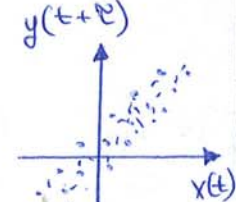


CASO 2:

$x, y$  DIPENDENTI

Esempio:

- pioggia, ↑Q del fiume,
- trascorso un certo tempo
- virus, contagio, febbre



Esempio: sistemi bieleggibili

Caratterizzati da memoria che non si spegne mai.

$$\text{SCALA INTEGRALE} = \int_0^\infty p(\tau) d\tau$$

area sottesa da  $p_x(\tau)$

qualifico MEMORIA DEL SEGNALE  $\rightarrow$  INERZIA del SISTEMA  
 $\uparrow$  MEMORIA,  $\uparrow$  CORRECAZ.,  $\uparrow$  SCALA INTEGRAZ.

EQ. CONSERVAZ. QUANTITÀ MOTO, N-S, GLOBALE  
DELL'EQ. DINAMI.

$$\rho(\vec{F} - \vec{A}) = (\text{grad } p - \mu \nabla^2 \vec{u}) \vec{f}$$

$$\underbrace{\frac{D\vec{u}}{Dt}}_{(1)} = - \int \text{grad } p + \nu \nabla^2 \vec{u} - \vec{F}$$

$$= \frac{\partial u}{\partial t} + u_1 \frac{\partial u_i}{\partial x_1} + u_2 \frac{\partial u_i}{\partial x_2} + u_3 \frac{\partial u_i}{\partial x_3} = \frac{\partial u}{\partial t} + u_j \frac{\partial u_i}{\partial x_j}$$

$$\Rightarrow \boxed{\frac{\partial u}{\partial t} + u_j \frac{\partial u_i}{\partial x_j} = - \int \frac{\partial p}{\partial x_i} + \nu \frac{\partial}{\partial x_j} \left( \frac{\partial u_i}{\partial x_j} \right) - g \delta_{ij}}$$

↑      ↑      ↑      ↑      ↑  
(1)    (2)    (3)    (4)    (5)

DELTA DI KRONCKER

$$\delta_{ij} = \begin{cases} 1 & i=3 \\ 0 & i \neq j \end{cases}$$

perché  $\vec{g}$  opera solo lungo z

$$\textcircled{1} \quad \frac{\partial \bar{u}_i}{\partial t} = \frac{\partial (U_i + u_i)}{\partial t} \Rightarrow \overline{\frac{\partial (U_i + u_i)}{\partial t}} = \overline{\frac{\partial U_i}{\partial t}} + \overline{\frac{\partial u_i}{\partial t}} = \frac{\partial \bar{U}_i}{\partial t}$$

$$\textcircled{3} \quad \tilde{p} = p + p_0 \rightarrow - \int \frac{\partial (p + p_0)}{\partial x_i} = - \left( \frac{1}{\rho} \right) \frac{\partial p}{\partial x_i}$$

$$\textcircled{4} \quad \overline{\frac{\partial}{\partial x_j} \frac{\partial (U_i + u_i)}{\partial x_j}} = \frac{\partial^2}{\partial x_j} \frac{\partial \bar{U}_i}{\partial x_j} = \frac{\partial^2 (U_i + u_i)}{\partial x_j \partial x_i} \stackrel{\text{fluido}}{\text{incompr.}} \frac{\partial^2 U_i}{\partial x_j \partial x_i}$$

termini già mediati  
posso portarli fuori da deriv.

$$\textcircled{2} \quad \overline{(U_j + u_j) \frac{\partial (U_i + u_i)}{\partial x_j}} = \overline{U_j} \frac{\partial \bar{U}_i}{\partial x_j} + \overline{u_j} \frac{\partial u_i}{\partial x_j} + \overline{u_j} \frac{\partial \bar{U}_i}{\partial x_j} + \overline{u_j} \frac{\partial u_i}{\partial x_j} = \\ = \overline{U_j} \frac{\partial \bar{U}_i}{\partial x_j} + \overline{U_j} \frac{\partial u_i}{\partial x_j} + \overline{u_j} \frac{\partial \bar{U}_i}{\partial x_j} + \overline{u_j} \frac{\partial u_i}{\partial x_j}$$

*media degli scarti*

$$= \overline{U_j} \frac{\partial u_i}{\partial x_j}$$

$$\overline{u_j} \frac{\partial u_i}{\partial x_j} = \frac{\partial (u_i u_j)}{\partial x_j} - u_i \frac{\partial u_j}{\partial x_j} = \frac{\partial u_i u_j}{\partial x_j}$$

indice J ripetuto  
⇒ sommatoria

↓  
medio delle div.  
del campo di moto è 0!

Attenzione!

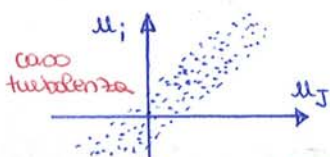
La media degli scarti è nulla ( $\bar{u}_i = \bar{u}_j = 0$ ),  
lo stesso però non è detto per il prodotto degli scarti ( $u_i u_j \neq 0$ ).

Dette  $u_i$  e  $u_j$  le componenti del moto turb.,  
selezionando ad ogni istante coppie  $(u_i, u_j)$  sul diagr.,  
noterò una nuvola addensata di punti.

$u_i$  e  $u_j$  sono correlati,

$\overline{u_i u_j}$  dipende dalla cross-operazione.

Tutto +  $\bar{U}_i \bar{U}_j$  dento da Ø, tutto +  $U_i U_j$  sono legate.  
In realtà la cross-operaz. non restituisce zero.



Proiettando la nuvola di ptz sui rispettivi assi:

$$\bar{u}_i = 0 \quad \text{e} \quad \bar{u}_j = 0$$

ma  $\frac{\partial u_i u_j}{\partial x_j} \neq 0$

avendo  $u_i, u_j$  legate da VINCOLI → EQ. DETERMINISTICHE

Fisicamente, cosa sono le cross-operazioni?

$$\frac{\partial \bar{u}_i}{\partial t} + \bar{u}_j \frac{\partial \bar{u}_i}{\partial x_j} = - \frac{1}{\rho} \frac{\partial \bar{P}}{\partial x_i} + \frac{\partial}{\partial x_j} \left[ - \bar{u}_i \bar{u}_j + \nu \frac{\partial \bar{u}_i}{\partial x_j} \right] - g \delta_{ij}$$

$$\frac{D \bar{u}_i}{D t} = - \frac{1}{\rho} \left( \frac{\partial \bar{P}}{\partial x_j} \right)_{ij} - g \delta_{ij} \quad \text{EN. POTENZIALE}$$

DERIVATA  
EULERIANA

gradienze spaz.  
degli sforzi

TENSORE

MOTR.  
DIAG.

$\nu_{\text{visc}} \ll \nu_{\text{REYN.}}$

$$\nu_{ij} = \bar{P} \delta_{ij} + \mu \left( \frac{\partial \bar{u}_i}{\partial x_j} + \frac{\partial \bar{u}_j}{\partial x_i} \right) + \rho \bar{u}_i \bar{u}_j$$

GRADIENTE  
SPAZ. PRESS.  
-ISOTROPICO-

TENS. X VISCOSITÀ  
(Moto reologico dei  
fluidi reali, Newton)

TENSIONI DI  
REYNOLDS

Legato a cross-oper.  
In + Risp. q. m. com.  
(parte non-lineare)

TENS. DI REYNOLDS

$$-\rho \bar{u}_i \bar{u}_j = -\rho \begin{pmatrix} \bar{u}_1^2 & \bar{u}_1 \bar{u}_2 & \bar{u}_1 \bar{u}_3 \\ \bar{u}_2 \bar{u}_1 & \bar{u}_2^2 & \bar{u}_2 \bar{u}_3 \\ \bar{u}_3 \bar{u}_1 & \bar{u}_3 \bar{u}_2 & \bar{u}_3^2 \end{pmatrix}$$

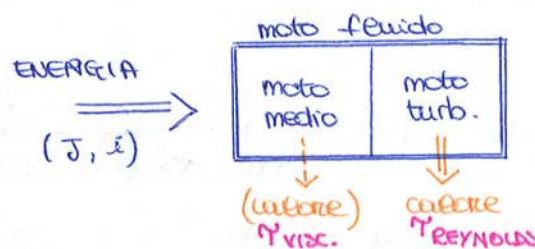
- tensioni dovute a cross-correlaz. nel moto turb.
- connesse a scambi quantità moto
- dominanti nel moto turb.

NON POSSO SEPARARE DEL TUTTO LA TURBULENZA DAL MOTO MEDIO  
PERCHE' NASCONO TERMINI DI CROSS-OPERAZIONE.

È dalla non-linearità di  $\bar{P}$

### DISCORSO ENERGETICO

Dissipaz. energ. conseguente al moto turb <sup>de</sup> due origini?



Immagino di immettere delle energie in un sistema sotto forma di calore piezom. (o perdita matrice i)

Minima parte di questa energia viene viscosità, d'insiemando in calore per  $\nu_{\text{visc.}}$ . Nel mentre, > parte dell'en. del m. medio è sotto forma di Reynold's, per poi essere quasi totalm. rigettata sotto forma di CALORE.

"Calore" non esiste nelle scale macroscopiche, ma è stato inventato nel piccolo

Moto turb. sopravive, prelevando energia al moto medio.

ANALISI DIMENSIONALE

Il teorema  $\pi$

## Il Teorema $\pi$ o teorema di Buckingham

Ogni grandezza fisica ha opportune dimensioni (rispetto alle unità di misura) delle grandezze fondamentali, che per la meccanica sono tre. [masso M, lunghezza L, tempo T]

Adottata la terna M, L, T e le corrispondenti unità kg, m, s una grandezza fisica  $Q_1$  della meccanica avrà il seguente legame dimensionale:

$$[Q_1] = \text{Kg}^{\alpha_1} \cdot \text{m}^{\beta_1} \cdot \text{s}^{\gamma_1}$$

$$[A] = [L^2] = [L^2 T^0 H^0]$$

$$[V] = [L^1 T^{-1} H^0]$$

ESPOVENTI = DIMENSIONI

di quanto cambia  $Q$

> Esempio:

Consideriamo la pressione  $p$ :  $[p] = \frac{N}{m^2}$  poiché

$$[F] = \text{Kg} \cdot \text{m} \cdot \text{s}^{-2},$$

sarà

$$[p] = \text{Kg}^1 \cdot \text{m}^{-1} \cdot \text{s}^{-2}$$

Un discorso analogo si può fare anche per altre grandezze  $Q_2, Q_3$ , ecc.

Quesito preliminare:



è possibile assumere un'altra terna di grandezze come terna di grandezze fondamentali?

Ad esempio, scegliere  $(F, L, T)$ , anziché  $(M, L, T)$ ? (e qui se ne è cambiata una sola,  $M \rightarrow F$ , ma potrei cambiarle tutte e tre)

Si può dimostrare che se fisso l'attenzione su tre grandezze  $Q_1, Q_2$  e  $Q_3$  che hanno rispetto a  $M, L, T$  le dimensioni

$$\left\{ \begin{array}{l} [Q_1] = [L^{\alpha_1} T^{\beta_1} H^{\gamma_1}] \\ [Q_2] = [L^{\alpha_2} T^{\beta_2} H^{\gamma_2}] \\ [Q_3] = [L^{\alpha_3} T^{\beta_3} H^{\gamma_3}] \end{array} \right. \quad \begin{matrix} \text{SISTEMA DIRETTO} \\ \text{TERNA DERIVATA} \end{matrix}$$

①

si può rispondere affermativamente al precedente quesito se vale la seguente relazione

DETERM. DEI COEFF.  
DEL SIST. DIRETTO

$$\left( \begin{array}{ccc} \alpha_1 & \beta_1 & \gamma_1 \\ \alpha_2 & \beta_2 & \gamma_2 \\ \alpha_3 & \beta_3 & \gamma_3 \end{array} \right) \neq 0 \quad \begin{matrix} \rightarrow \text{SIST. } \textcircled{1} \text{ E' INVERTIBILE} \\ \Rightarrow Q_1 Q_2 Q_3 \text{ PUO' ESSERE ASSUNTA} \\ \text{COHE NUOVA TERNA DI RIFERIMENTO.} \end{matrix}$$

Questo perché, non solo occorre che  $Q_1, Q_2$  e  $Q_3$  siano esprimibili in termini di  $L, M$  e  $T$ , ma attraverso la nuova terna di grandezze fondamentali si deve anche poter esprimere  $M, L$  e  $T$ .

Per capire questa condizione necessaria e sufficiente, scriviamo

$$\begin{aligned} [Q_1] &= [H]^{\alpha_1} [L]^{\beta_1} [T]^{\gamma_1} ; \\ [Q_2] &= [H]^{\alpha_2} [L]^{\beta_2} [T]^{\gamma_2} ; \end{aligned}$$

e ne prendiamo i logaritmi  $[Q_3] = [H]^{\alpha_3} [L]^{\beta_3} [T]^{\gamma_3}$ .

$$\left\{ \begin{array}{l} \log [Q_1] = \alpha_1 \log [H] + \beta_1 \log [L] + \gamma_1 \log [T] \\ \log [Q_2] = \alpha_2 \log [H] + \beta_2 \log [L] + \gamma_2 \log [T] \\ \log [Q_3] = \alpha_3 \log [H] + \beta_3 \log [L] + \gamma_3 \log [T] \end{array} \right.$$

HO SCRITTO TUTTE LE COMPOSIZIONI,  
DI  $\textcircled{1}$  COME  $\log$

Per esprimere  $\log [H], \log [L], \log [T]$  in funzione di  $\log [Q_1], \log [Q_2], \log [Q_3]$ , occorre che sia

$$\left( \begin{array}{ccc} \alpha_1 & \beta_1 & \gamma_1 \\ \alpha_2 & \beta_2 & \gamma_2 \\ \alpha_3 & \beta_3 & \gamma_3 \end{array} \right) \neq 0$$

1

Il teorema  $\pi$ 

$$(1) \quad [\mu] = [\rho]^a \cdot [L]^b \cdot [U]^c$$

di dimensioni  $a, b, c$ .

Poiché la terna  $\rho, L, U$  è dimensionalmente indipendente, una relazione del tipo (1), vale per qualunque grandezza, nessuna esclusa. Gli esponenti  $a, b, c$  cioè le dimensioni di  $\mu$  (in questo caso) rispetto alle unità di misura di  $\rho, L$ , ed  $U$  si determinano scrivendo

$$\text{Kg}^a \cdot \text{m}^b \cdot \text{s}^c = (\text{Kg} \cdot \text{m}^{-3})^a \cdot \text{m}^b \cdot (\text{m} \cdot \text{s}^{-1})^c$$

e quindi

$$\begin{cases} a = 1 \\ -1 = -3a + b + c \\ -1 = -c \end{cases}$$

da cui  $a = 1, b = 1, c = 1$ .

Allora il rapporto tra  $\mu$  e  $\rho^1 \cdot L^1 \cdot U^1$  è un numero puro.

UNA SERIE DI

Sia  $y$  una grandezza fisica che compare in un fenomeno fisico, funzione di altre 5 grandezze:

$$y = f(Q_1, Q_2, Q_3, Q_4, Q_5)$$

SPAZIO  
N+1

GRAND. FOND.

nell'ipotesi che  $Q_1, Q_2, Q_3$  siano della stessa specie di quelle assunte per costruire la nuova terna di grandezze fondamentali e quindi siano dimensionalmente indipendenti, possiamo scrivere SCELGO  $\alpha, \beta, \gamma$  IN MODO T.C.  $y$  SIA ADIMENS., QUINDI:

$$y = f(Q_1, Q_2, Q_3, \frac{Q_4}{Q_1^{\alpha_4} Q_2^{\beta_4} Q_3^{\gamma_4}}, \frac{Q_5}{Q_1^{\alpha_5} Q_2^{\beta_5} Q_3^{\gamma_5}})$$

in cui  $\alpha_4, \beta_4, \gamma_4$  sono scelti in modo che  $N_4$   
 e  $\alpha_5, \beta_5, \gamma_5$  sono scelti in modo che  $N_5$

$$\frac{Q_4}{Q_1^{\alpha_4} Q_2^{\beta_4} Q_3^{\gamma_4}} \text{ sia un numero puro} \rightarrow N_4$$

e  $\alpha_5, \beta_5, \gamma_5$  sono scelti in modo che

$$\frac{Q_5}{Q_1^{\alpha_5} Q_2^{\beta_5} Q_3^{\gamma_5}} \text{ sia un numero puro} \rightarrow N_5$$

Potremo allora scrivere

coincidendo unità MIS.  
di  $Q$

$$Y = f(Q_1, Q_2, Q_3, N_4, N_5)$$

non cambieranno

NORMAZIONE  
ADIMENSIONALIZZATA

N-3 DIMENSIONI

$$\frac{y}{Q_1^{\alpha_y} Q_2^{\beta_y} Q_3^{\gamma_y}} \cdot Q_1^{\alpha_y} \cdot Q_2^{\beta_y} \cdot Q_3^{\gamma_y} = f'(Q_1, Q_2, Q_3, N_4, N_5)$$

con cui  $\alpha_y, \beta_y, \gamma_y$  sono scelti in modo che

ADINENS.

$$\frac{y}{Q_1^{\alpha_y} \cdot Q_2^{\beta_y} \cdot Q_3^{\gamma_y}} \text{ sia un numero puro} \rightarrow N_y$$

$$Q_1^{\alpha_y} \cdot Q_2^{\beta_y} \cdot Q_3^{\gamma_y}$$

Il primo membro dipende dimensionalmente da  $Q_1, Q_2, Q_3$  secondo il prodotto; per omogeneità dimensionale la dipendenza del secondo membro da  $Q_1, Q_2, Q_3$  deve ridursi al prodotto  $Q_1^{\alpha_y} \cdot Q_2^{\beta_y} \cdot Q_3^{\gamma_y}$ ; possiamo allora scrivere

3

$$N_y \cdot Q_1^{\alpha_y} \cdot Q_2^{\beta_y} \cdot Q_3^{\gamma_y} = Q_1^{\alpha_y} \cdot Q_2^{\beta_y} \cdot Q_3^{\gamma_y} \cdot \varphi(N_4, N_5)$$

324

Il teorema  $\pi$ 

(NO)

## ESEMPIO

Sia  $F = \varphi(p, u, D, \mu)$  una forza misurata in Newton (N).

Sceglieremo come grandezze indipendenti. Sono effettivamente indipendenti perché con esse non è possibile scrivere un numero puro.

Scriviamo

$$\frac{F}{p^{\alpha_1} \cdot u^{\beta_1} \cdot D^{\gamma_1}} \cdot p^{\alpha_2} \cdot u^{\beta_2} \cdot D^{\gamma_2} = \varphi\left(p, u, D, \frac{\mu}{p^{\alpha_1} \cdot u^{\beta_1} \cdot D^{\gamma_1}}, p^{\alpha_2} \cdot u^{\beta_2} \cdot D^{\gamma_2}\right)$$

Calcoliamo  $\alpha, \beta, \gamma$  e  $\alpha_1, \beta_1, \gamma_1$  in modo che

$$\frac{F}{p^{\alpha_1} \cdot u^{\beta_1} \cdot D^{\gamma_1}} \text{ e } \frac{F}{p^{\alpha_2} \cdot u^{\beta_2} \cdot D^{\gamma_2}}$$

siano due numeri puri.

Dato che:

$$[F] = \text{Kg}^1 \cdot \text{m}^1 \cdot \text{s}^{-2}$$

$$[p] = \text{Kg}^1 \cdot \text{m}^{-3}$$

$$[u] = \text{m}^1 \cdot \text{s}^{-1}$$

$$[D] = \text{m}$$

$$[\mu] = \text{kg}^1 \cdot \text{m}^{-1} \cdot \text{s}^{-2} \quad (\gamma = \mu \frac{du}{dy})$$

possiamo scrivere:

$$1) \text{Kg}^1 \cdot \text{m}^{-1} \cdot \text{s}^{-2} = \text{Kg}^{\alpha} \cdot \text{m}^{-3\alpha} \cdot \text{m}^{\beta} \cdot \text{s}^{-\beta} \cdot \text{m}^{\gamma}$$

$$\begin{cases} 1 = \alpha \\ 1 = -3\alpha + \beta + \gamma \\ -2 = -\beta \end{cases} \rightarrow \begin{cases} \alpha = 1 \\ \beta = 2 \\ \gamma = 2 \end{cases}$$

$$2) \text{Kg}^1 \cdot \text{m}^{-1} \cdot \text{s}^{-1} = \text{Kg}^{\alpha_1} \cdot \text{m}^{-3\alpha_1} \cdot \text{m}^{\beta_1} \cdot \text{s}^{-\beta_1} \cdot \text{m}^{\gamma_1}$$

$$\begin{cases} 1 = \alpha_1 \\ 1 = -3\alpha_1 + \beta_1 + \gamma_1 \\ -1 = -\beta_1 \end{cases} \rightarrow \begin{cases} \alpha_1 = 1 \\ \beta_1 = 1 \\ \gamma_1 = 1 \end{cases}$$

Risulta quindi:

$$\frac{F}{p^1 \cdot u^2 \cdot D^2} \cdot p^1 \cdot D^2 \cdot u^2 = \varphi\left(p, u, D, \frac{\mu}{p^1 \cdot u^1 \cdot D^1}, p^1 \cdot u^1 \cdot D^1\right)$$

Il primo membro ha le dimensioni di una forza, infatti il prodotto  $\frac{\mu}{p \cdot u \cdot D}$  ha le dimensioni di una forza. Per omogeneità dimensionale anche il secondo membro deve avere le dimensioni di una forza. Risulterà quindi:

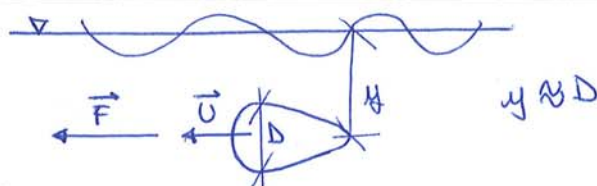
$$\frac{F}{p^1 \cdot u^2 \cdot D^2} \cdot p^1 \cdot u^2 \cdot D^2 = p^1 \cdot u^2 \cdot D^2 \cdot \varphi(N_1)$$

con  $N_1 = \frac{\mu}{p \cdot u \cdot D}$  per cui

$$\frac{F}{p \cdot u^2 \cdot D^2} = \varphi(N_1)$$

 $n = 5$  $m = 3$ ,

quindi numeri puri = 2.

Il teorema  $\pi$ : applicazioni

F è anche funzione della dimensione della perturbazione superficiale indotte dal movimento del corpo.

In questo caso si deve considerare anche la GRAVITA':

$$F = \varphi(\rho, U, D, g) \quad \text{RESISTENZA D'ONDA}$$

Prendendo come terna fondamentale

$$\frac{F}{\rho \cdot U^2 \cdot D^2} = \psi \left( \frac{\rho \cdot U^2 \cdot D^{-1}}{g} \right) = \psi' \left( \frac{U}{\sqrt{g \cdot D}} \right)$$

L'argomento della funzione al secondo membro è il numero di Froude  $Fr$ . Possiamo quindi scrivere:

$$c_r = \psi'(Fr)$$

Se il corpo è a profondità intermedia, intervengono sia  $\mu$  che  $g$ . Quindi

$$F = \varphi(\rho, U, D, g, \mu)$$

e si avranno  $n-3=3$  gruppi adimensionali:

$$c_r = \psi'(Fr, Re)$$

In questo caso si avrà resistenza d'attrito, resistenza di scia e resistenza d'onda.

I risultati sperimentali si riportano in coordinate spaziali e non piane.

Immaginiamo di dover valutare il coefficiente di resistenza di un corpo che avanza nelle condizioni viste.

Questo coefficiente di resistenza  $c_r$  può essere funzione di  $Re$ , del solo  $Fr$  e contemporaneamente anche di  $Re$ .

L'ideale sarebbe fare delle prove con il corpo reale, ma questo spesso è impossibile perché il corpo verrà realizzato solo quando le sue caratteristiche al trascinamento saranno certe e saremo sicuri di non doverlo modificare. Si eseguiranno allora delle prove su un modello il cui costo non è eccessivo.

Immaginiamo che il modello si debba costruire rispettando una certa scala geometrica  $\lambda$ , ad esempio 1/30.

➤ Se  $c_r$  dipende solo da  $Re$ , in modello e in originale dovremo rispettare tale numero

$$\frac{\rho_0 \cdot U_0 \cdot D_0}{\mu_0} = \frac{\rho_m \cdot D_m \cdot U_m}{\mu_m}$$

Il teorema  $\pi$ : applicazioni

Ma, in genere, il liquido non si può cambiare,  $\rho_0 = \rho_m$ ,  $\mu_0 = \mu_m$ . Per cui

$$\frac{U_m}{U_0} = \frac{D_0}{D_m},$$

cioè

$$U_m = U_0 \cdot \frac{D_0}{D_m} = U_0 \cdot \frac{1}{\lambda}$$

Riducendo in modello le dimensioni del corpo, nelle prove su modello questo deve avanzare più velocemente per rispettare  $Re$ .

- Se  $C_r$  dipende solo da  $Fr$ , si avrà analogamente

cioè

$$\frac{U_0}{\sqrt{g \cdot D_0}} = \frac{U_m}{\sqrt{g \cdot D_m}}$$

da cui

$$\frac{U_m}{U_0} = \frac{\sqrt{D_m}}{\sqrt{D_0}}$$

$$U_m = U_0 \sqrt{\frac{D_m}{D_0}}$$

- Se  $C_r$  dipende da  $Re$  e da  $Fr$  e lavoriamo con lo stesso liquido in modello e con l'originale, per rispettare le due condizioni

$$(*) \quad \frac{U_m}{U_0} = \frac{D_0}{D_m} \quad e \quad \frac{U_m}{U_0} = \frac{\sqrt{D_m}}{\sqrt{D_0}}$$

$$D_0 = D_m$$

deve essere ✓. Questo significa che devo lavorare su un modello uguale al prototipo, quindi lavorare in scala 1:1.

$$D_0 = D_m$$

Per soddisfare le due relazioni, senza avere ✓, occorre lavorare con liquidi diversi in modello e nell'originale.

Devo avere

$$\frac{\rho_0 U_0 \cdot D_0}{\mu_0} = \frac{\rho_m D_m U_m}{\mu_m}$$

$$\frac{U_0}{\sqrt{g D_0}} = \frac{U_m}{\sqrt{g D_m}}$$

$$\frac{U_0 D_0}{U_m} = \frac{U_m D_m}{U_0}$$

$$\frac{U_m}{U_0} \cdot \frac{D_m}{D_0} = \frac{U_0}{U_m}$$

Ricordando che

$$\frac{\sqrt{D_m}}{\sqrt{D_0}} \cdot \frac{D_m}{D_0} = \frac{U_m}{U_0} \rightarrow \left( \frac{D_m}{D_0} \right)^{3/2} = \frac{U_m}{U_0} \rightarrow \frac{D_m}{D_0} = \left( \frac{U_m}{U_0} \right)^{2/3} \quad e \quad \frac{U_m}{U_0} = \left( \frac{U_m}{U_0} \right)^{1/3}$$

Lavorare in modelli con liquido diverso da quello dell'originale ci permette teoricamente di soddisfare le due relazioni (\*).

In pratica è impossibile soddisfare le due relazioni perché è molto difficile trovare un liquido da utilizzare in modello che ci permette di soddisfare la

$$\left( \frac{D_m}{D_0} \right) = \left( \frac{U_m}{U_0} \right)^{2/3}$$

con scale delle lunghezze plausibili.

$$\lambda = 1/30$$

Se, per esempio, deve essere

$$\left( \frac{1}{30} \right)^{3/2} = \frac{U_m}{U_0}$$

$$U_m = U_0 \left( \frac{1}{30} \right)^{3/2} = 9006.1 \cdot U_0$$

Se  $U_0 = 1 \cdot 10^{-6} \text{ m}^2/\text{s}$  (acqua a 20°C),  $U_m = 6,1 \cdot 10^{-8} \text{ m}^2/\text{s}$ .

## PROFILO DI VELOCITÀ - Nusselt

FLUIDO "SI ATTACCA"  
ALLA PARETE

A causa delle forze di adesione, le particelle a contatto con la parete hanno la stessa velocità della parete stessa (ferma!):  $v=0$ .

Nusselt → Ipotesi: parete liscia e piatta (= senza curvatura)

Definisce uno strato molto prossimo alla parete da non risentire di ciò che accade alla scala globale del fluido (INNER LAYER o WALL LAYER). In essa il profilo della vel.:

$$U = U(y, p, N, \mu_*)$$

(param. cinem.)  
tensioni che fluido esercita  
su parete che lubrifica

asse rivolto verso  
interno della parete

essendo vicini a parete,  
la quale impone  $U=0$  (vincolo determ.)  
e dove i fatti gradienti.

$U$  non dipende dalla SCALA GLOBALE  $\delta$ , nella quale il fenomeno è AUTOSTRILE. Per conoscere profilo velocità in questo strato, sfrutto teor. II:

$\mu_*, p \rightarrow$  GRANDEZZE DINAMICHE  
coincidono le mass.,  
la quale non appare a I membro

↓  
Vanno combinate in un rapporto  
x annoverare le mass.:

$$U_* = \sqrt{\frac{N}{\mu_*}} \quad \left[ \sqrt{\frac{L^2}{T^2}} \right]$$

VELOCITÀ  
DI ATTRITO

scala tipica  
della velocità  $U$

scala tipica  
della lung.  $y$

$$U = U(y, N, U_*)$$

↑  
graud.  
nuove

TEOR. II

$$\frac{U}{U_*} = f\left(\frac{y U_*}{N}\right) -$$

num. puro

DISTANZA  
ADIMENSIONAL.

allontanandosi dalla parete ( $y \uparrow$ ),  $Re \uparrow$  fin quando forze d'inerzia vincono sulle forze viscosi e subentra m. turbolento (al m. lam.).

↓  
Nelle OUT-LAYER  $\exists N$

2. OUTER-LAYER: lontano dalla parete, conta solo scala globale ( $\rightarrow \delta$ ) e perde di importanza la viscosità  $N$ .

$$U = U(y, p, N, \cancel{\mu_*}, \delta) = U(y, U_*, \delta)$$

$\mu_*$  ↑  
 $y, Re$   
prevale f.d'inerzia

dimensione  
complessiva

"TEOR. II"

$$\frac{(U_\infty - U)}{U_*} = F\left(\frac{y}{\delta}\right) = F(\xi)$$

$$U_\infty = \text{cost}$$

parete  
IDRAULIC. LISCIA

m. turb. non si  
accorge delle  
asperità

Parete piatta e liscia,  
ma sup. parete ha ASPERITÀ.

viscosità nasconde  
SCABBIATA

se le scabbie raggiungono le turb.  
distogliendo solstr. viscosa → parete  
IDRAULIC. SCABA



38

OSS. 3: allontanandosi dalla scala log, mi addentro nell'outer  
 → risalto della scala globale  
 Tuttavia, essendo lo sistem. non eccessivo, si considera valido anche qui l'audem. log, anche se p.h. iniziano a disperdersi.

Non esiste una legge per outer  $\Rightarrow$  sfrutto legge log per tutto outer  
 (outer  $\rightarrow$  dati non seguono né OBRA né BETTA)

OSS. 4.: Stessa approssimaz. non puo' essere usata x scale molto piccole, in cui il gradiente di velocità e' troppo grande da generare turbolenza.

### SOTTOSTRATO VISCOSE

strato infinitesimo vicino alla parete in cui si spegne la componente turbolenta poiché non possono i componenti normali alla parete. Questo strato è laminare.

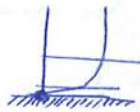
### BUFFER LAYER

- il moto laminare, ne' leggi x s
- profilo velocità è incognito

Moto turb. si origina làdove prof. ref. ha max gradiente, cioè quando prof. è + appiattito  $\rightarrow \frac{dU}{dy}$  basso



Origine è dove grad. max ( $\rightarrow$  nel buffer layer) e da qui si diffondono in tutta la corrente



### Analisi delle ipotesi iniziali del modello

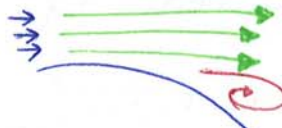
#### • PARETE IDEALMENTE USCIA

parete scabra  $\rightarrow$  asperita superano sottostrato viscoso ( $y U_*$ )  $\downarrow$   
 controllo buffer layer e turbolenza

Al crescere della  $U$  del fluido diminuisce  $y$ .  
 $\uparrow$  scabra,  $\uparrow$  velocità  
 $\rightarrow$  scie'

#### • ASSENZA DI CURVATURA (= PARETE PIANA)

parete curva  $\rightarrow$  fenomeno della separazione ; a valle della curva le traiett. si staccano dalla parete  
 $\rightarrow$  correnti di ricircolazione (scie)



INCOMPRESSIBILE

$$\begin{aligned}\vec{\mu} &= \int_{\Omega} p \vec{U}_n \, d\Omega = p \int_{\Omega} \vec{U} \vec{U}_n \, d\Omega = p \int_{\Omega} (\vec{U} + \vec{U}') (\vec{U}_n + \vec{U}'_n) \, d\Omega = \\ &= p \left[ \int_{\Omega} (\vec{U} \vec{U}_n + \vec{U} \vec{U}'_n + \vec{U}' \vec{U}_n + \vec{U}' \vec{U}'_n) \, d\Omega \right] \\ &\bullet \frac{1}{T} \int_t^{t+T} \left[ p \int_{\Omega} \vec{U} \vec{U}_n \, d\Omega \right] dt = p \int_{\Omega} \vec{U} \vec{U}_n \, d\Omega \\ &\bullet \frac{1}{T} \int_t^{t+T} \left[ p \int_{\Omega} \vec{U}' \vec{U}'_n \, d\Omega \right] dt = p \int_{\Omega} \left[ \frac{1}{T} \int_t^{t+T} \vec{U}' \vec{U}'_n \, dt \right] = 0 = \frac{1}{T} \int_t^{t+T} \left[ p \int_{\Omega} \vec{U}' \vec{U}'_n \, d\Omega \right] dt \\ &\bullet \frac{1}{T} \int_t^{t+T} \left[ p \int_{\Omega} \vec{U}' \vec{U}'_n \, d\Omega \right] dt = p \int_{\Omega} \left[ \frac{1}{T} \int_t^{t+T} \vec{U}' \vec{U}'_n \, dt \right] d\Omega = p \int_{\Omega} \vec{U}' \vec{U}'_n \, d\Omega = \vec{M}' \\ &\hookrightarrow \text{graud. correlate tra loro (sono legate da leg. lineare)} \rightarrow \text{sopravive } \int \text{media}\end{aligned}$$

Ricapitolando

$$\vec{P} + \vec{F}_c + \vec{I} + \vec{M} + \vec{M}' = 0$$

- $\hookrightarrow$  non posso separare termini medi da moto turb.
  - $\hookrightarrow$  Eq. valida se fluido incompressibile ( $p = \text{cost.}$ ), altrimenti  $p = \bar{p} + p'$   $\rightarrow \vec{I} \dots p' \vec{U}'$  è diversa funz. campo di moto
  - $\vec{N}_e = \vec{M}_u \Rightarrow \vec{N}_e - \vec{M}_u = 0$
  - $\vec{U}' \vec{U}'_n$  identico su distretto nelle successive sez. trasv.  
 $\Rightarrow \vec{M}'$  limitato alla sup. lat. del cilindro
- per simm.
- $$\vec{M}' = \int p \vec{U} \vec{U}_n \, d\Omega$$
- $\uparrow$  2πr.L

TANGENZIALE

## Ricapitolando

$$-\gamma \pi r^2 k \frac{z_2 - z_1}{L} + \pi r^2 (p_1 - p_2) + \mu \frac{\partial \bar{u}}{\partial r} 2\pi r L - \rho \bar{u}' \bar{u}^2 2\pi r L = 0$$

$$\gamma \pi r^2 \left[ \left( z_1 + \frac{p_1}{\rho} \right) - \left( z_2 + \frac{p_2}{\rho} \right) \right] = 2\pi r L \left[ -\mu \frac{\partial \bar{u}}{\partial r} + \rho \bar{u}' \bar{u}^2 \right]$$

$\underbrace{iL}_{\text{IL}}$        $\underbrace{\bar{u}}_{\bar{u}}$

$i$  = variaz. carico tot. per unità di lunghezza.  
 $i = j = - \frac{\partial h}{\partial s}$

essendo sea. cost  
(corrente unif.)

$i$  = variaz. carico piezom. per unità di lunghezza.  
 $- \frac{\partial h}{\partial s}$

$$T = \gamma (r^2) L i$$

Resistenza opposta dal fluido,  
data come somma di 2 termini:

- $\tau =$    
 SF. TG. VISCOSO (m. laminare)  
 SF. TG. TURBOLENTO, dovuti agli scambi di quantità di moto nel m. turb.

$$\tau = -\mu \frac{\partial \bar{u}}{\partial r} + \rho \bar{u}' \bar{u}^2$$



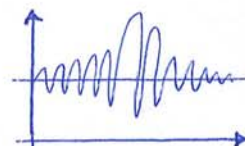
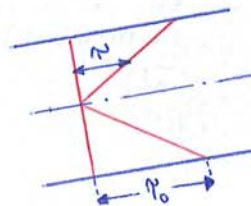
"TENS. DI REYNOLDS",  $\tau_{turb}$ .  
dovute agli scambi di quantità di moto nel m. turb.  
nelle sia che la parete sia lungo l'asse

teus. tg. viscose,  $\tau_{visc}$ .  
che si originano nel m. laminare  
e consumano energia

$$\tau = \frac{\gamma \pi r^2 i k}{2 \pi r k} = \rho i \frac{r}{2}$$

$\Omega_{LAT}$

anche nel m. turb.  
le teus. tg. variano linealmente.



$\tau$  istantanei oscillano,  
mentre  $\tau$  medie costanti

Moto laminare:  $\tau = \tau_{visc}$

Moto turbolento:  $\tau = \tau_{visc} + \tau_{turb}$ .

Quanto contano  $\tau_{visc}$  e  $\tau_{turb}$ ?

In quasi tutto il dominio prevalgono  $\tau_{turb}$ :

Solo vicino alla parete  $\tau_{turb} = 0$  e contano solo più  $\tau_{visc}$ ,  
anche per num. di Reynolds Re molto elevati (m. puram. turb.). } determin.

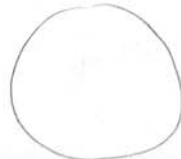
Appena mi allontano dalla parete iniziano a dominare e  
continuano a prevalere anche le teus. di Reynolds,  $\tau_{turb}$ . } caso

Parete  $\rightarrow$  determinismo. Lontano  
dalla parete  $\rightarrow$  caso

$Re$  permette di suddividere  $\leftarrow$  moto laminare ( $Re < 2000$ )  
m. turbolento ( $Re > 2000$ )

Inizio preoccupandomi del moto laminare e distinguo sez. O da sez. □.  
velocità, sez O, m. som.

- SEZ. CIRCOLARE



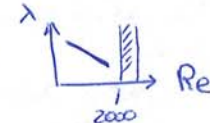
$$U = \frac{i}{32} \frac{\sigma i}{\mu} D^2 \rightarrow i = \frac{32 U \mu}{\sigma D^2}$$

$$\lambda = \frac{iD}{U^2/2g} = \frac{2g}{U^2} \cdot D \cdot \frac{32 U \mu}{\sigma D^2} = \frac{64}{Re}$$

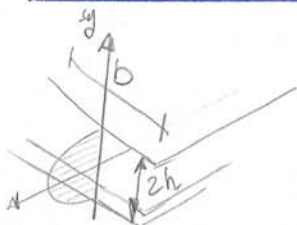
$\hookrightarrow$  retto sul piano leg

$\uparrow Re, \uparrow i$   
 $\downarrow Re, \uparrow i$

$\rightarrow$  pendenza neg.



- SEZ. RETTANGOLARE



$$U = \frac{i}{3} \frac{\sigma i}{\mu} \pi r^2 \rightarrow i = \frac{3 \mu U}{\sigma \pi r^2}$$

$$R_i = \frac{\Omega}{P} = \frac{\pi R^2}{2 \pi R} = \frac{R}{2} = \frac{D}{4} \quad \text{RAGGIO IDRULICO} \quad \hookrightarrow D = 4 R_i$$

$$\lambda = \frac{i \cdot 4 R_i}{U^2/2g} = \frac{2g \cdot 4 R_i}{U^2} = \frac{8g}{U^2} \cdot \frac{3 \mu U}{\sigma (R_i)^2} = \frac{96}{Re}$$

$$\begin{array}{c} \boxed{a} \\ \hline b \end{array} \quad a \gg b \quad R_{e,\square} = \frac{4 R_i U}{U} \quad a \gg b$$

$$R_{e,\square} = \frac{\Omega}{P} = \frac{a \cdot b}{2a+2b} \stackrel{a \gg b}{\approx} \frac{b}{2}$$

OSS. 1:  $\lambda$  (INDICE DI RESISTENZA) dipende dalla forma delle sezioni.  
Per tutte le altre sezioni possibili (di difficile trattaz. dati gli spigoli)  
sono comprese tra le 2 rette estreme di equaz:

$$O = \frac{64}{Re}$$

$$e \quad \lambda \square = \frac{96}{Re}$$

perché  $\downarrow$

CERCHIO  
 $P$  minimo a parità di  $A$

RETTANGolo  
 $A$  minima a parità di  $P$

RICORDA:

$P$  = PERIMETRO BAGNATO

$\hookrightarrow$  dove dissipò energia e fu tensioni tg  
Su pareti verticali non dissipò XK  
particelle massime  $a$  = velocità.

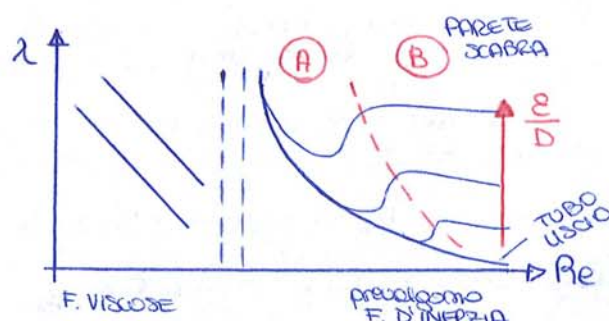
$\frac{\varepsilon}{D}$  : parametro per contraddistinguere le singole curve  
(= sing. esperienze)

- $\frac{\varepsilon}{D}$  maggiori  $\rightarrow$  distacco delle curve del tubo liscio + brusco  
 $\Rightarrow$  intervallo Re in cui si comporta come tubo liscio  
resta trascurabile
- $\frac{\varepsilon}{D}$  minori  $\rightarrow$  distacco per Re via via crescenti

Sopracc. del substr. visoso  $\downarrow$  al  $\uparrow$  Re

- Re piccoli  $\rightarrow$  substr. visc. sommerge completamente asperità costituenti la scabrezza  $\rightarrow$  scabrezza non influenzata moto turb.
- $\uparrow$  Re, protuberanze emergono  $\rightarrow$  scabrezza unif  $\rightarrow$  brusco distacco

Dopo un breve tratto ascendente, tutte le curve  $\lambda(Re)$ , per  $\frac{\varepsilon}{D} = \text{cost.}$ , da concave verso il basso tendono a disporsi orizz  $\Rightarrow \lambda \rightarrow \text{costante}$



$$A) \lambda = \lambda(Re, \frac{\varepsilon}{D})$$

$$B) \lambda = \lambda(\frac{\varepsilon}{D}) \text{ PURAN. TURB.}$$

$\lambda = \text{cost.} \rightarrow$  caratteristico  
del moto turb.  
non + influenzato  
dalla viscosità

In realtà si lavora con una scabrezza equivalente ( $\varepsilon_{eq}$ ) che permette di studiare il problema globalmente, paragonandolo poi alla parete studiata da Nikuradse, a parità di diametro.

In generale:

- curve presentano ralem. tratto ascendente, con concavità verso basso
- si staccano dalle curve dei tubi lisci gradualm; rispettando tg ad essa e quindi discendenti all'inizio  
 $\hookrightarrow$  qst tratto discendente è tolto + pronunciato al crescere di Re
- scabrezza non unif  $\rightarrow$  emergono prime asperità + elevate e poi via via quelle di altezza  $K$  ( $\uparrow$  Re,  $\downarrow$  spessore substrato visc.)  
 $\downarrow$   
graduale distacco  $\lambda(Re)$  da curva per tubi lisci  
 $\downarrow$   
raccordo alla zona (B)



Si fa ricorso al DIAGRAMMA DI HOODY per progettare

- 1) Assegnata una condotta  $\rightarrow$  dimens. geom ( $D, L$ )  
coratt. idr. ( $\varepsilon$ )  $\rightarrow \frac{\varepsilon}{D} \rightarrow$  curva  $\lambda(Re)$  sull'abaco
- 2) sia data una portata  $Q$ :

$$Re = \frac{\rho V D}{\mu} = \frac{4 Q}{\pi \nu D} \rightarrow \lambda = \frac{D_i}{U^2 / 2g}$$

$$3) \text{ determino la caduta, } i = \frac{\lambda U^2}{2g D}$$

- 4) e quindi il dislivello piezom. tra sez. iniz. e sez. terminale

Teorema N° sintesi e semplificazione

$$i = i(D, \rho, \mu, Q, \varepsilon) \quad \begin{matrix} \downarrow \\ \text{P} \end{matrix} \quad \rightarrow \text{spazio a 5 dimensioni}$$

$$i \propto U^d, Q^\beta, D^\delta$$

LAMINARE

$$\lambda = \frac{e}{Re} \Rightarrow \lambda \propto \frac{1}{DU} \quad \left. \begin{array}{l} i \propto \frac{U^2}{D^2} \\ \hline \end{array} \right\} i \propto \frac{Q}{D^4}$$

$$\lambda = \frac{Di}{U^2/g} \Rightarrow i \propto \frac{\lambda \cdot U^2}{D} \quad \left. \begin{array}{l} \hline \\ Q \propto UD^2 \Rightarrow U \propto \frac{Q}{D^2} \end{array} \right\} i \propto \frac{Q}{D^4}$$

TURBOLENTO

$$\lambda = 0,0032 + \frac{0,221}{Re^{0,277}} \quad (\text{NIRURADDE}) \quad Re > 10^5$$

→ TUBO USCIO:  $\lambda = \frac{0,316}{Re^{0,25}}^{1/4}$  (BLASIUS)  $Re < 10^5$

→ PARETE USCIA:  $i \propto \frac{U^2}{D} \xrightarrow{\text{Blasius}} i \propto \frac{U^{1,75}}{D^{1,25}}$

$$U \propto \frac{Q}{D^2} \quad \left. \begin{array}{l} \hline \\ i \propto \frac{Q^{1,75}}{D^{4,75}} \end{array} \right\}$$

→ PARETE COMPLETAMENTE SCARRA:  $\lambda = \lambda(\varepsilon/D)$

$$\lambda = \text{cost}(Re) \Rightarrow i \propto \frac{U^2}{D} \quad \left. \begin{array}{l} \hline \\ U \propto \frac{Q}{D^2} \end{array} \right\} i \propto \frac{Q^2}{D^5}$$

modifiche geom  
→ potenza altissima  
Ese: diametro D  
 $\downarrow$   
 $i \downarrow 32$  volte

Nel m. fum. le dissipazioni ( $\rightarrow i$ ) sono L.D. da  $Q$  e I.D. da  $D^4$ !

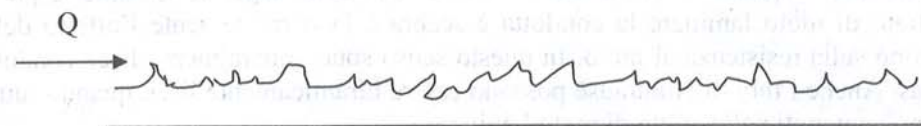
→ m. fum. mette meno dissipazione della parete scabra

I diametri hanno potenze alte  
→ influenzano molto le dissipazioni.

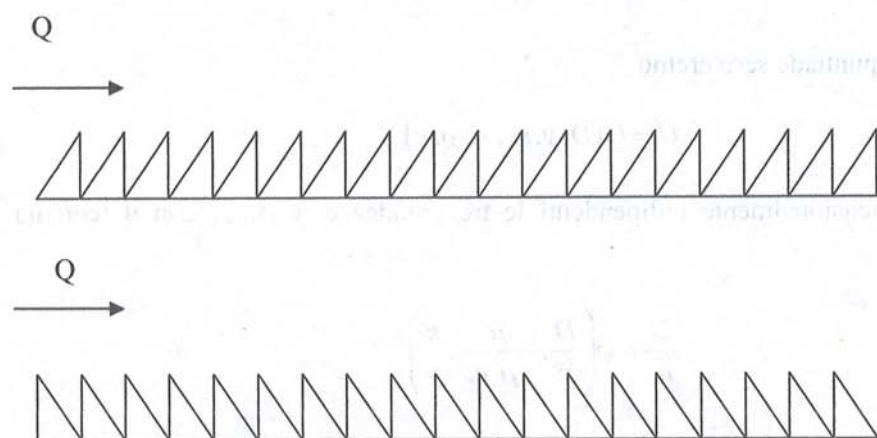
Piccolo cambia  $m$  → grande effetto

## DISTRIBUZIONE DI VELOCITÀ PER IL MOTO TURBOLENTO UNIFORME IN CONDOTTO CIRCOLARE

Consideriamo una tubazione del commercio: se esaminiamo la sua superficie interna vediamo una situazione come quella in figura.

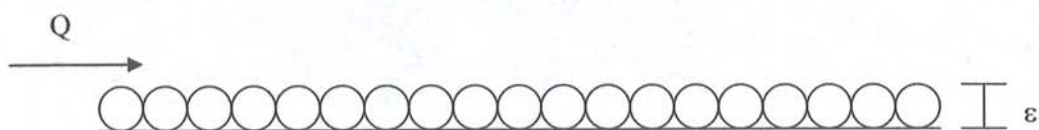


La superficie interna presenta delle asperità che sono più o meno pronunciate, inclinate in modo casuale, un po' nel verso della corrente, un po' nel verso contrario alla direzione della corrente. Per ogni condotta noi possiamo definire un parametro che viene detto **scabrezza della condotta** e in genere viene indicato con  $\epsilon$ . Cos'è  $\epsilon$ ?  $\epsilon$  ha le dimensioni di una lunghezza, è un parametro che deve essere valutato per via idraulica;  $\epsilon$  non è né l'altezza media delle punte, né il valore massimo, né il valore minimo di tale altezza.  $\epsilon$  tiene conto dell'altezza delle punte, ma anche del loro orientamento secondo la corrente o contro corrente.



Le scabrezze delle due tubazioni riportate in figura sono diverse.

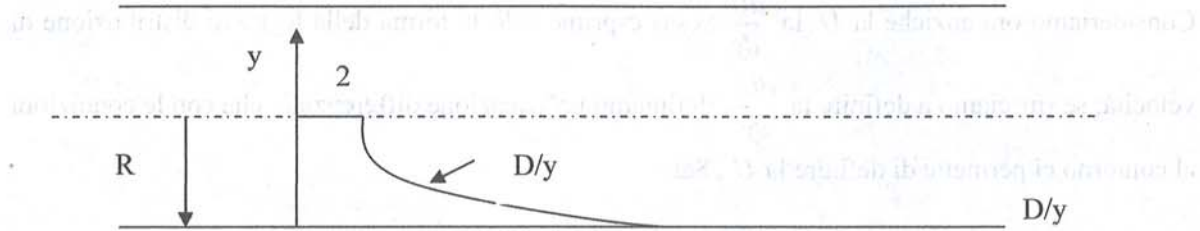
Nikuradse ha sperimentato su tubazioni rese scabre in modo artificiale incollando sulla parete interna della tubazione dei granelli di sabbia a diametro costante.



Consideriamo il rapporto  $\frac{D}{y}$ ; tale rapporto vale 2 sull'asse e tende all'infinito alla parete; il

rapporto  $\frac{\nu}{y u_*}$  tende all'infinito alla parete e a valori molto piccoli verso il centro, analogamente

accade per  $\frac{\varepsilon}{y}$ .



Supponiamo che esista una zona lungo il raggio, già esterna allo strato di moto di transizione, in cui  $\frac{D}{y}$  sia ancora molto grande in modo da non provocare alcuna variazione di  $\frac{U}{u_*}$  e invece  $\frac{\nu}{y u_*}$  e  $\frac{\varepsilon}{y}$

siano già talmente piccoli da non influire sul valore di  $\frac{U}{u_*}$ : abbiamo supposto quindi che ci sia

autosimilitudine completa nei tre parametri. Scriviamo quindi, secondo la simbologia dell'autosimilitudine:

$$\frac{U}{u_*} = \Phi(\infty, 0, 0) = c$$

La precedente dice che se fosse vera l'autosimilitudine completa, nella zona considerata  $\frac{U}{u_*}$

sarebbe costante; questo in totale disaccordo con i valori sperimentali che denotano una crescita della velocità dalla parete al centro. Ne risulta che lavorando sulle  $U$  non è possibile considerare l'autosimilitudine completa nei tre rapporti adimensionali. In particolare non si può considerare

l'autosimilitudine completa nei rapporti adimensionali  $\frac{\nu}{y u_*}$  e  $\frac{\varepsilon}{y}$ . Infatti noi sappiamo che il fluido

è viscoso e per questo aderisce alla parete dove le particelle hanno quindi velocità nulla; la velocità è massima in centro. Esiste quindi un gradiente di velocità che è massimo alla parete e nullo in centro dove l'effetto della viscosità è sempre molto debole. Dire che c'è autosimilitudine nel

parametro  $\frac{\nu}{y u_*}$  vuol dire trascurare l'effetto della viscosità e in particolare l'effetto della parete

dovuto alla viscosità sulla distribuzione della velocità. Per un tubo di scabrezza assoluta  $\varepsilon$ , considerare autosimilitudine nel rapporto  $\frac{\varepsilon}{y}$  vuol dire non considerare l'effetto dovuto alla